

2. 気象

〔その 3 - 9 × 9 燃料が装荷されたサイクル以降（発電用原子炉設置変更許可申請（平成 25 年 12 月 25 日申請））〕

2.1 島根原子力発電所付近の気象⁽¹⁾

島根原子力発電所原子炉設置変更許可申請書(1号, 2号及び3号原子炉施設の変更)(平成 17 年 4 月 26 日付け, 平成 15・12・18 原第 3 号をもって設置変更許可)の添付書類六「2. 気象〔その 2 - 9 × 9 燃料が装荷されたサイクル以降〕 2.1 島根原子力発電所付近の気象」の記載内容に同じ。

2.2 最寄りの気象官署における気象資料

2.2.1 気象官署所在地の状況

対象とした気象官署は、松江地方気象台、米子特別地域気象観測所及び鳥取地方気象台の3か所であり、各気象官署の位置及び観測項目を第2.2-1表及び第2.2-1図に示す。

松江地方気象台、米子特別地域気象観測所及び鳥取地方気象台は、それぞれ宍道湖東岸にある松江市の丘陵部、弓ヶ浜基部に位置する米子市の平野部、日本海に面した鳥取市の平野部にある。

2.2.2 松江地方気象台、米子特別地域気象観測所及び鳥取地方気象台を選んだ理由

この地方の一般気象を知るため、長期間通年観測が行われている気象官署の資料が必要である。

最寄りの気象官署としては、松江地方気象台、米子特別地域気象観測所及び境特別地域気象観測所がある。これらの官署の他に、若干距離は遠くなるが、日本海沿岸部に鳥取地方気象台及び浜田特別地域気象観測所がある。これらの各気象官署は、よく管理された長期間の観測資料を得ているが、境特別地域気象観測所は北側に高い山（約300m）が、浜田特別地域気象観測所も近距離に山（約370m）が迫っており、敷地とは地形的に著しく異なっているため、共に除外した。

したがって、敷地の局地的気象を推定し、原子炉施設の一般的設計条件として必要なデータを得るために、松江地方気象台、米子特別地域気象観測所及び鳥取地方気象台の資料を用いることとした。

2.2.3 最寄りの気象官署の一般気象統計⁽²⁾⁽³⁾⁽⁴⁾

(1) 一般気象

松江地方気象台、米子特別地域気象観測所及び鳥取地方気象台における一般気象に関する統計を第2.2-2表から第2.2-4表に示す。

この地方に影響を与えた主な台風を第2.2-23表から第2.2-25表に示す。

(2) 極値

第2.2-5表から第2.2-22表に示す最寄りの気象官署の観測記録からみれば、この地域は冬季に厳しい気象条件となる。

松江地方気象台の観測記録によれば、最低気温 -8.7°C （1977年2月19日）、日最大降水量263.8mm（1964年7月18日）、積雪の深さの月最大値100cm（1971年2月4日）及び最大瞬間風速56.5m/s（1991年9月27日）である。

米子特別地域気象観測所の観測記録によれば、最低気温 -9.4°C （1942年2月14日）、日最大降水量206.8mm（1964年7月18日）、積雪の深さの月最大値89cm（2011年1月1日）及び最大瞬間風速45.2m/s（1991年9月27日）である。

鳥取地方気象台の観測記録によれば、最低気温 -7.4°C （1981年2月26日）、日最大降水量187.5mm（1976年9月10日）、積雪の深さの月最大値129cm（1947年2月22日）及び最大瞬間風速48.6m/s（1991年9月27日）である。

2.2.4 その他の資料による一般気象

2.2.4.1 森林火災

森林火災検討に係る最寄りの気象庁観測所の気象データ（気温，風速，卓越風向，湿度）（2003～2012年）について，第2.2-26表に示す。

2.3 敷地における気象観測

発電所の安全解析に使用する気象条件を決める際の資料を得るため、「発電用原子炉施設の安全解析に関する気象指針」（以下「気象指針」という。）に基づき、発電所敷地内で、風向、風速、日射量、放射収支量等の観測を行っている。

本申請書では、2009年1月から2009年12月までの観測データを使用した。

なお、排気筒高さより上空の風向風速等については、敷地内で1997年夏から1998年春の四季にわたり観測を行った。

以上の観測に使用した気象測器の種類、観測位置及び観測期間を第2.3-1表に、観測点位置を第2.3-1図及び第2.3-2図に示す。

2.3.1 気象観測点の状況

(1) 排気筒高さ付近の風向風速を代表する観測点（B点）

排気筒高さ付近を代表する風向風速の資料を得るため、敷地内の管理事務所屋上（標高37m）にドップラーソーダを設置し、標高65m（地上高50m）及び標高130m（地上高115m）の風向風速の観測を行った。この観測点は周囲の障害物の影響を受けないため、排気筒高さ付近の風向風速を代表している。

なお、風洞実験を行い、B点における風向風速の観測値が排気筒高さ付近の風向風速を表していることを確認した。

(2) 地上風を代表する観測点（A点）

敷地を代表する地上風の資料を得るため、敷地内に露場（標高8.5m）を作り、ここに地上高20m（標高28.5m）の観測柱を設置し、観測を行った。

この観測点は周囲の障害物の影響を受けることが少ないため、敷地の地上風を代表するものとした。

- (3) 大気安定度を求めるための風速，日射量及び放射収支量の観測点（A点及びC点）

大気安定度を求めるには，平地での風速，日射量及び放射収支量が必要である。風速については，敷地内に設けた露場（標高 8.5m）の観測点（A点）で測定した値を使用した。また，日射量及び放射収支量についても，敷地内に設けた露場（標高 74m）の観測点（C点）で測定した値を使用した。

2.3.2 気象観測項目

風向，風速：A点，B点，D点

日 射 量：C点

放射収支量：C点

降 水 量：A点

気 温：A点

湿 度：A点

（各観測点の位置については第 2.3-1 図及び第 2.3-2 図参照）

2.3.3 気象測器

気象測器は，第 2.3-1 表に示しているが，「気象業務法」に基づく気象庁検定を受けたものである。

なお，放射収支計及びドップラーソーダは，気象庁の検定項目にないため，放射収支計については年 1 回黒体炉による校正，ドップラーソーダについては年 1 回校正器による校正を行っている。

2.4 敷地における気象観測結果

2.4.1 敷地を代表する風

敷地の地上風を代表する敷地内の露場(第2.3-1図, A点)の標高28.5m(地上高20m)における1年間の観測結果並びに排気筒高さ付近の風を代表する観測点(第2.3-1図, B点)の標高65m(地上高50m)及び標高130m(地上高115m)における1年間の観測結果を以下に示す。

(1) 風向

第2.4-1図から第2.4-5図に、標高28.5m、標高65m及び標高130mにおける年間及び月別の風配図を示す。

標高28.5mにおける風向分布は、年間を通じ南南東から南及び西北西から北北西の風が多くなっている。

標高65mにおける風向分布は、年間を通じ南南東から南にかけての風が多くなっているが、12月では西北西の風が多くなっている。

標高130mにおける風向分布は、年間を通じ大きな風向の片寄りは見られていないが、8月から9月には北東から東北東の風、12月には西北西の風が多くなっている。

第2.4-6図に、標高28.5m、標高65m及び標高130mにおける年間の低風速(0.5~2.0m/s)時の風配図を示す。

標高28.5mにおける風向分布は、年間を通じ南南東の風が多くなっている。

標高65mにおける風向分布は、年間を通じ南南東から南の風が多くなっている。

標高130mにおける風向分布は、年間を通じ北東の風が多くなっている。

(2) 風速

標高28.5m、標高65m及び標高130mにおける年間及び月別の風速別出現頻度並びに年間の風速別出現頻度累積を第2.4-7図から第2.4-13図に示す。

これによれば、標高 28.5m では年平均風速が 2.6m/s で、0.5～4.4m/s の範囲の風速が多くなっている。標高 65m では年平均風速が 2.4m/s であり、0.5～4.4m/s の範囲の風速が多くなっている。標高 130m では年平均風速が 4.0m/s であり、0.5～6.4m/s の範囲に幅広く風速が分布している。

また、標高 28.5m、標高 65m 及び標高 130m における静穏状態（風速 0.5m/s 未満）の年間出現頻度は、それぞれ 5.1%、3.9%及び 2.0%である。

(3) 同一風向継続時間

標高 28.5m、標高 65m 及び標高 130m における年間風向継続時間を第 2.4-1 表から第 2.4-3 表に示す。

標高 28.5m において長期継続する傾向の強い風向は、南南東、南、西北西、北西及び北北西であり、最長の継続時間は風向が北北西の場合である。各風向とも継続時間は 8 時間以内がほとんどであり、全体の 97.8%を占めている。

標高 65m において長期継続する傾向の強い風向は、南南東、南及び北北西であり、最長の継続時間は風向が南及び北北西の場合である。各風向とも継続時間は 8 時間以内がほとんどであり、全体の 99.9%を占めている。

標高 130m において長期継続する傾向の強い風向は北東、西北西及び北北西であり、最長の継続時間は風向が北北西の場合である。各風向とも継続時間は 8 時間以内がほとんどであり、全体の 99.3%を占めている。

また、各標高における静穏状態の継続時間は 3 時間以内がほとんどであり、各々 98.8%以上を占めている。

2.4.2 大気安定度

(1) 大気安定度の分類と出現頻度

日射量、放射収支量及び標高 28.5m（地上高 20m）の風速の観測資料を基に「気象指針」に従って大気安定度の分類を行った。

年間及び月別の大気安定度出現頻度を第 2.4-14 図に、並びに大気安

定度別の標高 28.5m, 標高 65m 及び標高 130m の風配図を第 2.4-15 図から第 2.4-17 図に示す。

年間の出現頻度は、A型からC型は 22.7%、D型（C-D型も含む）は 51.2%、E型からG型は 26.1%になっている。

D型は年間を通じて出現頻度が多く、A型からC型は4月から9月にかけて比較的多くなっており、E型からG型は3月から5月、9月から11月にかけて多くなっている。

風向別では、標高 28.5m では、A・B・C型は北西、D型は北西及び南南東、E・F・G型は南南東の風の際に多く現れている。

標高 65m では、A・B・C型は北北西及び北、D型は南南東、南及び西北西から北北西、E・F・G型は南南東から南の風の際に多く現れている。

標高 130m では、A・B・C型は北東、D型は北東及び西北西、E・F・G型は南東及び南から南西の風の際に多く現れている。

大気安定度の継続時間別出現回数を第 2.4-4 表に示す。

A・B・C型、D型、E・F・G型が 10 時間以上継続する頻度は各々 12.0%、13.1%、19.8%となっている。

2.4.3 観測結果からみた敷地の気象特性

敷地における気象観測資料を解析した結果によると、敷地の気象特性として次のような点が挙げられる。

- (1) 風速が比較的大きい風向は北西寄りであり、海から陸の方へ吹いている。
- (2) 静穏が発生しても、それが継続することは少ない。
- (3) 大気安定度は、D型の出現頻度が多く、拡散の小さいE・F・G型が発生しているときは、地上付近は南南東から南、排気筒付近は南から南西の風が多く、いずれもほとんど海の方へ吹いており、拡散の大きいA・B・C型が発生しているときは、地上付近は北西、排気筒付近は北東の風が多く、いずれも陸へ向かう風が多い。

2.5 安全解析に使用する気象条件

安全解析に使用する気象条件は、「2.3 敷地における気象観測」及び「2.4 敷地における気象観測結果」に述べた気象資料を使用し、「気象指針」に従って統計整理し求めた。

2.5.1 観測期間の気象条件の代表性の検討

敷地において観測した2009年1月から2009年12月までの1年間の気象資料により安全解析を行うに当たり、観測を行った1年間の気象状態が長期間の気象状態と比較して特に異常でないかどうかの検討を行った。

風向出現頻度及び風速出現頻度について、敷地内B点の標高65m（地上高50m）及び標高130m（地上高115m）における10年間（2008年1月～12月、2010年1月～2018年12月）の資料により検定を行った。検定法は、不良標本の棄却検定に関するF分布検定の手順に従った。

その結果を第2.5-1表から第2.5-4表に示すが、有意水準5%で棄却されたものは標高65m（地上高50m）及び標高130m（地上高115m）いずれにおいても27項目中0項目であった。

これは安全解析に使用した観測期間の気象状態が長期間の気象状態と比較して特に異常でないことを示しており、この期間の気象資料を用いて平常運転時及び設計基準事故時の線量の計算を行うことは妥当であることを示している。

2.5.2 大気拡散の計算に使用する放出源の有効高さ⁽⁵⁾⁽⁶⁾

排気筒から放出される放射性物質が敷地周辺に及ぼす影響を評価するに当たって、大気拡散の計算に使用する放出源の有効高さは、建物及び敷地周辺の地形の影響を考慮するため、以下のような風洞実験により求める。

風洞実験においては、縮尺1/2,000の建物及び敷地周辺の地形模型を用い、排気筒高さに吹上げ高さを加えた高さからガスを排出し、風下地点における地表濃度を測定する。

その地形模型実験で得られた地表濃度の値が、平地実験による地表濃度の値に相当する排気筒高さを放出源の有効高さとする。

排気筒高さは、1号及び2号炉排気筒は地上高約120m（標高約130m）、1号炉タービン建物排気筒は地上高約55m（標高約64m）、3号炉排気筒は地上高約57m（標高約65m）であるが、以上の風洞実験により平常運転時の線量評価に用いる放出源の有効高さは第2.5-5表のとおりとする。

設計基準事故時において、原子炉冷却材喪失、放射性気体廃棄物処理施設の破損、燃料集合体の落下、制御棒落下では、排気筒又は非常用ガス処理系の排気管からの吹上げを考慮せずに上記と同様の風洞実験を行い、放出源の有効高さを第2.5-5表のとおりとし、また主蒸気管破断では、地上放散とし放出源の有効高さを0mとする。

2.5.3 大気拡散の計算に使用する気象条件

(1) 平常運転時

発電所の平常運転時に放出される放射性気体廃棄物の敷地周辺に及ぼす影響を評価するに当たっては、敷地内における2009年1月から2009年12月までの1年間の風向、風速及び大気安定度の観測資料から以下に示すパラメータを求め、これを用いる。

なお、風向、風速については排気筒高さ付近の風を代表する標高65m（地上高50m）及び標高130m（地上高115m）の風向、風速とする。

a. 風向別大気安定度別風速逆数の総和及び平均

風向別大気安定度別風速逆数の総和及び平均は、(2.5-1)式、(2.5-2)式によりそれぞれ計算する。

$$S_{d,s} = \sum_{i=1}^N \frac{d_{d,s} \delta_i}{U_i} \dots\dots\dots (2.5-1)$$

$$\bar{S}_{d,s} = \frac{1}{N_{d,s}} \cdot S_{d,s} \dots\dots\dots (2.5-2)$$

$S_{d,s}$: 風向別大気安定度別風速逆数の総和 (s/m)

$\bar{S}_{d,s}$: 風向別大気安定度別風速逆数の平均 (s/m)

N : 実観測回数 (回)

U_i : 時刻 i における風速 (m/s)

${}_{d,s}\delta_i$: 時刻 i において風向 d , 大気安定度 s の場合

$${}_{d,s}\delta_i = 1$$

その他の場合

$${}_{d,s}\delta_i = 0$$

$N_{d,s}$: 風向 d , 大気安定度 s の総出現回数 (回)

b. 風向出現頻度

風向出現頻度は (2.5-3) 式, (2.5-4) 式によりそれぞれ計算する。

$$f_d = \sum_{i=1}^N \frac{{}_d\delta_i}{N} \times 100 \dots\dots\dots (2.5-3)$$

$$f_{dT} = f_d + f_{d'} + f_{d''} \dots\dots\dots (2.5-4)$$

f_d : 風向 d の出現頻度 (%)

N : 実観測回数 (回)

${}_d\delta_i$: 時刻 i において風向が d の場合 ${}_d\delta_i = 1$

その他の場合 ${}_d\delta_i = 0$

$f_{d'}, f_{d''}$: 風向 d に隣接する風向 d' , d'' の出現頻度 (%)

f_{dT} : 風向 d , d' , d'' の出現頻度の和 (%)

静穏時については、風速は 0.5m/s とし、風向別大気安定度別出現回数は、静穏時の大気安定度別出現回数を風速 0.5~2.0m/s の風向出現頻度に応じて比例配分して求める。

また、欠測については、欠測を除いた期間について得られた統計が、欠測期間についても成り立つものとする。

以上の計算から求めた風向別大気安定度別風速逆数の総和を第 2.5-6 表及び第 2.5-7 表に、風向別大気安定度別風速逆数の平均及び風向別風速逆数の平均を第 2.5-8 表及び第 2.5-9 表に、風向出現頻度及び風速 0.5~2.0m/s の風向出現頻度を第 2.5-10 表及び第 2.5-11 表に示す。

(2) 設計基準事故時

設計基準事故時に放出される放射性物質が、敷地周辺の公衆に及ぼす影響を評価するに当たって、放射性物質の拡散状態を推定するために必要な気象条件については、現地における出現頻度からみて、これより悪い条件がめったに現れないと言えるものを選ばなければならない。

そこで、線量の評価に用いる放射性物質の相対濃度（以下「 x/Q 」という。）を、標高 28.5m 及び標高 130m における 2009 年 1 月から 2009 年 12 月までの 1 年間の観測データを使用して求めた。すなわち、(2.5-5) 式に示すように、風向、風速、大気安定度及び実効放出継続時間を考慮した x/Q を陸側方位について求め、方位別にその値の小さい方からの累積度数を年間のデータ数に対する出現頻度 (%) として表すことにする。横軸に x/Q を、縦軸に累積出現頻度を取り、着目方位ごとに x/Q の累積出現頻度分布を描き、この分布から、累積出現頻度が 97% に当たる x/Q を方位別に求め、そのうち最大のものを安全解析に使用する相対濃度とする。

ただし、 x/Q の計算の着目地点は、各方位とも敷地境界までの距離とし、着目地点以遠で x/Q が最大になる場合は、その x/Q を着目地点における当該時刻の x/Q とする。

$$x/Q = \frac{1}{T} \sum_{i=1}^T (x/Q)_i \cdot \delta_i \dots \dots \dots (2.5-5)$$

ここで、

x/Q : 実効放出継続時間中の相対濃度 (s/m^3)

T : 実効放出継続時間 (h)

$(x/Q)_i$: 時刻 i における相対濃度 (s/m^3)

δ_i : 時刻 i において風向が当該方位にあるとき

$$\delta_i = 1$$

時刻 i において風向が他の方位にあるとき

$$\delta_i = 0$$

$(\chi/Q)_i$ の計算に当たっては、短時間放出の場合、方位内で風向軸が一定と仮定して (2.5-6) 式で計算し、長時間放出の場合、当該方位における放射性物質の全量が一方位内のみに一様分布すると仮定して、(2.5-7) 式で計算する。

短時間放出の場合、

$$(\chi/Q)_i = \frac{1}{\pi \cdot \sigma_{yi} \cdot \sigma_{zi} \cdot U_i} \exp\left(-\frac{H^2}{2\sigma_{zi}^2}\right) \cdots \cdots \cdots (2.5-6)$$

長時間放出の場合、

$$(\chi/Q)_i = \frac{2.032}{\sigma_{zi} \cdot U_i \cdot x} \exp\left(-\frac{H^2}{2\sigma_{zi}^2}\right) \cdots \cdots \cdots (2.5-7)$$

ここで、

σ_{yi} : 時刻 i における濃度分布の水平方向の拡がりのパラメータ (m)

σ_{zi} : 時刻 i における濃度分布の高さ方向の拡がりのパラメータ (m)

U_i : 時刻 i における風速 (m/s)

H : 放出源の有効高さ (m)

x : 放出地点から着目地点までの距離 (m)

方位別 χ/Q の累積出現頻度を求めるとき、静穏の場合には風速を 0.5m/s として計算し、その風向は静穏出現前の風向を使用する。

なお、放射性雲からの γ 線による空気カーマについては、 χ/Q の代わりに空間濃度分布と γ 線による空気カーマ計算モデルを組み合わせた相対線量 (以下「D/Q」という。) を χ/Q と同様な方法で求めて使用する。

ただし、長時間放出の場合でも方位内で風向が一定と仮定して計算する。 γ 線による空気カーマ計算には、添付書類九の (5.1-1) 式を使用する。

設計基準事故のうち、原子炉冷却材喪失は、大気中への放射性物質の

放出が長時間継続するので、実効放出継続時間を1日とし、長時間放出の $(x/Q)_i$ を使用して x/Q を求める。また、原子炉冷却材喪失以外の設計基準事故については、放射性物質が短時間に大気中に放出されるので、実効放出継続時間を1時間とし、短時間放出の $(x/Q)_i$ を使用して x/Q を求める。計算に使用する風向、風速は、排気筒又は非常用ガス処理系の排気管からの放出の場合は排気筒高さ付近の風を代表する標高130m（地上高115m）の風向、風速とする。放出源の有効高さは、吹上げ高さを考慮せずに陸側各方位ごとに風洞実験により求めた第2.5-5表の値を使用する。また、タービン建物から直接放出される場合は、地表付近の風を代表する標高28.5m（地上高20m）の風向、風速とする。

なお、 D/Q についても x/Q と同じ方法で求める。

以上により、陸側方向について求めた方位別 x/Q 及び D/Q の累積出現頻度を第2.5-1図から第2.5-6図に示す。

このうち、設計基準事故時の線量の評価に用いる x/Q 及び D/Q は、線量が最大となる方位の値を使用する。安全評価に使用する x/Q 及び D/Q を第2.5-12表に示す。

2.6 参考文献

- (1) 「日本の気候」
(昭和33年9月, 和達清夫監修)
- (2) 「日本気候表」
(平成13年3月, 気象庁編集)
- (3) 「気象統計情報」 (気象庁ホームページ)
- (4) 「島根原子力発電所特別気象観測調査報告書」
(平成10年8月, 財団法人 日本気象協会関西本部)
- (5) 「(社)日本原子力学会標準 発電用原子炉施設の安全解析における
放出源の有効高さを求めるための風洞実験実施基準: 2009」
(2010年5月, 社団法人 日本原子力学会)
- (6) 「島根原子力発電所敷地改変及び気象年変更に関する風洞実験」
(2020年4月, 一般財団法人 電力中央研究所)

〔その 3 - 9 × 9 燃料が装荷されたサイクル以降（発電用原子炉設置変更許可申請（平成 25 年 12 月 25 日申請））〕

第2.2-1表 気象官署の所在地及び観測項目

気象官署名	所在地 ^{注1)}	創立年月日	露場の標高 (m)	観測項目	風速計の高さ (地上高) (m)
松江地方気象台	松江市西津田 7丁目1-11 (南南東約11km)	昭和14年11月1日 (1939年)	17	気象全般	26.7 ^{注2)}
米子特別地域 ^{注3)} 気象観測所	米子市博労町 4丁目325 (東南東約33km)	昭和14年6月1日 (1939年)	6	気象全般	18.1 ^{注4)}
鳥取地方気象台	鳥取市吉方109 ^{注5)} (東約112km)	昭和18年1月1日 (1943年)	7 ^{注6)}	気象全般	33.0 ^{注7)}

注1) () 内は敷地からの方位と距離

注2) 風速計の高さは、1960年12月までは15.6m、1979年10月までは15.7mである。

注3) 米子測候所は2008年(平成20年)10月1日に無人化され、米子特別地域気象観測所となった。

注4) 風速計の高さは、1995年4月までは19.7m、1998年12月までは18.2mである。

注5) 所在地は、1977年10月までは鳥取市湖山町南1丁目823である。

注6) 露場の標高は、1977年10月までは17.0mである。

注7) 風速計の高さは、1977年10月までは13.8m、1998年3月までは32.0mである。

第2.2-2表 気候表〔概要〕(松江地方気象台)

松江地方気象台 (「気象庁ホームページ」による)

要素	月	1	2	3	4	5	6	7	8	9	10	11	12	年	統計期間
平均気温	℃	4.3	4.7	7.6	12.9	17.5	21.3	25.3	26.8	22.6	16.8	11.6	6.9	14.9	1981-2010
最高気温の平均	℃	8.0	8.9	12.6	18.5	22.7	25.9	29.3	31.3	26.8	21.7	16.2	11.0	19.4	1981-2010
最低気温の平均	℃	1.1	1.0	3.2	8.0	13.0	17.8	22.3	23.4	19.2	12.7	7.6	3.4	11.1	1981-2010
相対湿度	%	75	74	72	70	72	78	81	77	79	76	76	75	75	1981-2010
雲量		8.6	8.2	7.4	6.6	6.8	7.9	7.7	6.7	7.4	6.5	7.0	7.8	7.4	1981-2010
日照時間	h	68.2	84.7	132.8	180.6	202.2	161.3	166.7	202.1	142.9	158.0	112.7	84.0	1696.2	1981-2010
全天日射量	MJ/m ²	/	/	/	/	/	/	/	/	/	/	/	/	/	2008-2010
風速 (m/s)	平均	3.8	3.6	3.5	3.5	3.4	3.2	3.3	3.1	2.9	2.7	2.9	3.6	3.3	1981-2010
	日最大	20.1	18.4	19.1	18.4	17.4	20.4	18.1	19.3	28.5	18.5	18.1	19.6	28.5	1981-2010
最多風向	16方位	W	W	W	W	W	E	W	E	E	E	W	W	W	1990-2010
降水量	mm	147.2	121.9	132.6	109.4	134.6	189.8	252.4	113.7	197.9	119.5	130.6	137.6	1787.2	1981-2010
降雪の深さの合計	cm	37	28	8	-	-	-	-	-	-	-	0	16	89	1981-2010
大気現象 日数	不照	4.9	4.1	5.2	4.5	4.4	5.1	4.8	2.2	4.6	3.4	4.3	3.7	51.2	1981-2010
	雪	14.9	12.0	4.7	0.3	0.0	0.0	0.0	0.0	0.0	0.0	0.7	6.8	39.6	1981-2010
	霧	1.1	0.9	1.7	1.3	0.8	0.6	0.2	0.3	1.0	1.9	2.0	1.6	13.3	1981-2010
	雷	2.4	1.7	1.4	0.9	1.6	1.3	3.5	3.2	2.1	1.3	3.0	3.0	25.4	1981-2010
注)	露場標高	16.9m													
	風速計の高さ	26.7m													
	(地上高)														

第2.2-3表 気候表〔概要〕(米子特別地域気象観測所)

米子特別地域気象観測所(「気象庁ホームページ」による)

要素	月												統計期間	
	1	2	3	4	5	6	7	8	9	10	11	12		年
平均気温	4.4	4.8	7.7	13.0	17.7	21.5	25.6	26.9	22.6	17.0	11.8	7.1	15.0	1981-2010
最高气温の平均	8.0	8.7	12.2	18.1	22.6	25.6	29.7	31.3	26.7	21.7	16.4	11.2	19.4	1981-2010
最低气温の平均	1.1	1.1	3.2	7.8	12.9	17.8	22.4	23.3	18.9	12.5	7.5	3.4	11.0	1981-2010
相対湿度	73	72	69	68	70	76	78	75	77	74	72	72	73	1981-2010
雲量	/	/	/	/	/	/	/	/	/	/	/	/	/	2008-2010
日照時間	74.2	84.9	134.8	180.6	206.2	164.4	171.9	208.9	146.5	159.7	114.5	89.2	1732.3	1981-2010
全天日射量	6.2	8.4	12.1	16.1	18.6	17.0	17.6	17.6	13.5	11.3	7.6	6.1	12.8	1972-2000
風速 (m/s)	3.0	2.9	3.0	2.9	2.8	2.6	2.6	2.7	2.6	2.6	2.6	2.9	2.8	1981-2010
日最大	13.0	13.1	13.6	13.6	13.6	15.6	12.4	14.2	19.7	14.0	13.7	12.2	19.7	1981-2010
最多風向	SSE	SSE	SSE	SSE	SSE	NE	SSE	SSE	NE	SSE	SSE	SSE	SSE	1990-2010
降水量	145.3	126.3	130.0	104.9	122.9	181.2	240.1	125.2	209.2	129.8	128.6	128.5	1772.0	1981-2010
降雪の深さの合計	55	44	11	0	-	-	-	-	-	-	0	24	133	1981-2010
大気現象日数	不照	4.8	4.3	4.5	4.0	4.4	4.1	2.3	4.6	3.7	4.2	3.9	49.7	1981-2010
	雪	/	/	/	/	/	/	/	/	/	/	/	/	2008-2010
	霧	/	/	/	/	/	/	/	/	/	/	/	/	2008-2010
	雷	/	/	/	/	/	/	/	/	/	/	/	/	/
注)	露場標高	6.4m												
	風速計の高さ	18.1m												
		(1995年4月までは19.7m、1999年12月までは18.2m)												
		(地上高)												
		米子測候所は2008年(平成20年)10月1日に無人化され、米子特別地域気象観測所となった。												

第2.2-4表 気候表〔概要〕(鳥取地方気象台)

鳥取地方気象台(「気象庁ホームページ」による)

要素	月	1	2	3	4	5	6	7	8	9	10	11	12	年	統計期間
平均気温	°C	4.0	4.4	7.5	13.0	17.7	21.7	25.7	27.0	22.6	16.7	11.6	6.8	14.9	1981-2010
最高气温の平均	°C	7.7	8.5	12.4	18.7	23.3	26.6	30.4	32.2	27.4	22.0	16.4	11.0	19.7	1981-2010
最低气温の平均	°C	0.8	0.7	2.8	7.5	12.5	17.6	22.1	22.9	18.7	12.3	7.3	3.1	10.7	1981-2010
相対湿度	%	76	74	70	67	69	74	77	74	78	76	75	74	74	1981-2010
雲量		8.5	8.3	7.6	6.7	6.9	8.0	7.7	6.6	7.5	6.7	7.2	7.8	7.5	1981-2010
日照時間	h	70.2	79.5	124.3	177.3	197.4	158.2	163.0	206.8	139.9	148.5	108.8	89.5	1663.2	1981-2010
全天日射量	MJ/m ²	/	/	/	/	/	/	/	/	/	/	/	/	/	/
風速	平均	3.3	3.3	3.3	3.4	3.2	2.8	2.7	2.8	2.6	2.8	3.0	3.2	3.1	1981-2010
(m/s)	日最大	17.7	16.7	18.0	18.9	17.2	18.0	14.6	17.7	24.9	16.2	18.0	17.0	24.9	1981-2010
最多風向	16方位	ESE	ESE	ESE	ESE	ESE	ESE	ESE	ESE	ESE	ESE	ESE	ESE	ESE	1981-2010
降水量	mm	202.0	159.8	141.9	108.6	130.6	152.1	200.9	116.6	204.0	144.1	159.4	194.0	1914.0	1981-2010
降雪の深さの合計	cm	88	72	17	0	-	-	-	-	-	-	0	37	214	1981-2010
大気現象日数	不照	5.9	5.0	5.8	4.3	4.5	5.2	4.1	2.1	4.7	4.3	4.5	5.1	55.5	1981-2010
	雪	16.3	13.4	5.9	0.3	0.0	0.0	0.0	0.0	0.0	0.0	0.6	8.0	44.7	1981-2010
	霧	0.2	0.1	0.3	0.4	0.2	0.2	0.0	0.0	0.0	0.2	0.2	0.2	2.1	1981-2010
	雷	2.6	2.3	1.3	1.0	1.3	1.3	3.4	3.4	3.4	2.2	2.2	4.2	26.4	1981-2010
注)	露場標高	7.1m													
	風速計の高さ	33.0m (1998年3月までは32.0m)													
	(地上高)														

第2.2-5表 日最高・最低気温の順位 (松江地方気象台)

(「気象庁ホームページ」による)
統計期間：1940年7月～2018年12月
(°C)

順位	月												年	
	1	2	3	4	5	6	7	8	9	10	11	12		
1 最高気温	極値	20.6	24.7	26.4	30.7	31.9	34.4	37.1	38.5	36.1	32.1	26.8	23.2	38.5
	起年	2002	1954	2010	1978	1962	2013	2018	1994	2010	2005	1940	2018	1994
	日	15	27	20	15	22	12	20	1	1	1	6	4	8月1日
2 最高気温	極値	18.6	24.2	25.5	30.2	31.5	34.3	37.0	37.9	36.1	31.9	26.2	22.6	37.9
	起年	2000	2004	1979	1969	1960	1958	1994	2018	2010	2018	2004	2016	2018
	日	6	22	30	24	18	27	31	22	2	6	11	22	8月22日
3 最高気温	極値	18.5	23.5	25.3	29.7	31.4	34.1	36.8	37.8	36.1	31.3	26.2	22.5	37.8
	起年	1997	2010	2009	1983	1998	2002	1942	2018	2010	1994	1989	1954	2018
	日	1	25	19	28	23	10	26	1	1	12	5	8	8月1日
1 最低気温	極値	-6.9	-8.7	-4.7	-2.1	2.4	7.8	12.9	15.3	7.9	1.6	-2.4	-7.5	-8.7
	起年	1970	1977	1977	1945	1965	1942	1966	1968	1987	1942	1947	1967	1977
	日	20	19	5	7	1	2	4	31	28	26	28	31	2月19日
2 最低気温	極値	-6.8	-8.5	-4.4	-1.9	3.2	9.6	13.3	15.9	8.7	3.5	-1.2	-5.8	-8.5
	起年	1977	1942	1986	1987	1980	1981	1982	1956	1965	1968	1947	1967	1942
	日	30	14	4	1	2	2	1	20	29	31	27	30	2月14日
3 最低気温	極値	-6.2	-7.8	-4.4	-1.8	3.4	9.6	14.5	16.1	9.5	3.5	-0.6	-4.5	-7.8
	起年	1941	1981	1948	1941	1945	1948	1982	1956	1987	1942	1983	1976	1981
	日	31	26	3	8	7	6	2	26	27	25	28	27	2月26日

第2.2-6表 日最高・最低気温の順位（米子特別地域気象観測所）

（「気象庁ホームページ」による）
統計期間：1939年6月～2018年12月
（℃）

順位	月												年	
	1	2	3	4	5	6	7	8	9	10	11	12		
1	極値	20.0	25.4	27.5	33.7	33.8	35.8	38.3	38.9	37.1	33.5	27.3	23.5	38.9
	起年	2002	1954	1979	2005	1960	2000	1942	1994	2010	2018	2003	2018	1994
	日	15	27	30	28	18	30	26	1	2	6	2	4	8月1日
2	極値	19.0	24.4	27.4	31.6	32.7	35.6	38.0	38.6	36.6	32.5	26.4	21.6	38.6
	起年	2000	2004	2010	1978	1991	2005	2014	2007	2010	1998	1979	2016	2007
	日	6	22	20	15	26	25	26	14	1	1	2	22	8月14日
3	極値	19.0	24.1	26.0	31.2	32.5	35.1	37.5	38.3	36.5	32.3	26.4	21.6	38.3
	起年	1964	2010	2009	2004	2006	1984	2018	2018	1990	2005	1940	1953	2018
	日	13	25	19	22	22	19	20	22	1	1	6	2	8月22日
1	極値	-7.2	-9.4	-5.6	-3.1	1.5	5.9	12.2	13.7	7.2	1.1	-1.4	-6.7	-9.4
	起年	1970	1942	1977	1945	1974	1942	1982	1956	1987	1942	1947	1967	1942
	日	20	14	5	7	2	2	1	20	28	26	28	31	2月14日
2	極値	-7.1	-8.1	-4.5	-2.6	1.6	7.7	12.2	14.9	8.6	2.9	-1.0	-5.0	-8.1
	起年	1977	1981	1977	1960	1965	1948	1966	1956	1965	1993	1970	1967	1981
	日	30	26	4	3	1	6	4	26	29	28	30	30	2月26日
3	極値	-6.7	-7.7	-4.4	-2.5	1.6	8.3	13.1	15.0	9.0	2.9	-0.6	-4.4	-7.7
	起年	1941	1943	1948	1963	1953	1965	1966	1965	1964	1946	1969	1976	1943
	日	31	16	3	3	3	9	5	27	30	29	29	27	2月16日

注) 米子測候所は2008年（平成20年）10月1日に無人化され、米子特別地域気象観測所となった。

第2.2-7表 日最高・最低気温の順位（鳥取地方気象台）

（「気象庁ホームページ」による）
統計期間：1943年1月～2018年12月
（℃）

順位	月	1	2	3	4	5	6	7	8	9	10	11	12	年
			極値	20.4	23.2	25.4	31.7	32.4	35.7	39.1	38.7	37.7	32.6	26.3
1	起年	1964	1996	1979	2004	1998	2005	1994	1995	2010	2018	1979	2018	1994
	日	13	14	30	22	23	25	23	20	4	6	2	4	7月23日
2	極値	19.7	23.0	25.1	31.2	32.3	35.2	38.5	38.6	37.2	32.4	26.3	22.0	38.7
	起年	1980	2004	2010	2004	2013	2005	2018	1994	2010	2013	1959	2016	1995
3	日	3	22	20	18	25	26	31	10	1	7	2	22	8月20日
	極値	18.9	22.4	24.4	30.7	32.3	35.2	38.4	38.4	36.9	32.1	25.8	21.9	38.6
1	起年	1990	2010	2009	2005	1991	2005	2000	2010	1990	1998	2011	1953	1994
	日	10	25	18	28	26	21	22	6	1	1	4	1	8月10日
2	極値	-6.5	-7.4	-4.7	-2.2	2.2	7.5	12.6	12.9	8.4	2.9	-2.4	-5.6	-7.4
	起年	1967	1981	1977	1963	1965	1981	1966	1956	1987	1986	1970	1976	1981
3	日	16	26	5	3	1	3	4	20	28	31	30	30	2月26日
	極値	-6.3	-7.0	-4.2	-2.1	2.4	8.3	13.0	14.9	9.5	3.0	-1.8	-4.6	-7.0
1	起年	1963	1981	1977	1960	1953	1965	1982	1956	1964	1983	1970	1967	1981
	日	16	28	6	3	3	9	1	26	30	31	29	31	2月28日
2	極値	-6.1	-7.0	-4.1	-1.6	2.5	8.8	13.5	15.4	9.6	3.2	-0.2	-4.1	-7.0
	起年	2011	1953	1977	1987	1974	1948	1966	1972	1987	1993	1947	1967	1953
3	日	31	9	4	1	2	6	5	23	27	28	28	29	2月9日

第2.2-8表 日最小相対湿度の順位 (松江地方気象台)

(「気象庁ホームページ」による)
統計期間：1950年1月～2018年12月
(%)

順位	月												年	
	1	2	3	4	5	6	7	8	9	10	11	12		
1	極値	21	18	11	10	14	19	24	15	27	19	23	25	10
	起年	2010	2001	2000	2000	2009	2014	1997	2016	2015	2014	1995	2010	2000
2	日	27	27	3	1	14	1	19	11	28	18	6	1	4月1日
	極値	28	20	12	13	14	19	33	25	28	23	24	32	11
3	起年	2010	2002	2003	2001	1988	2002	1997	2000	1996	1989	2002	2000	2000
	日	4	25	23	27	2	7	1	24	24	25	17	15	3月3日
3	極値	30	20	14	14	15	20	34	25	28	24	27	32	12
	起年	1997	1977	1970	2009	2005	2002	2018	1978	1987	2003	2003	1984	2003
	日	13	28	29	30	3	9	15	26	20	28	18	9	3月23日

第2.2-9表 日最小相対湿度の順位（米子特別地域気象観測所）

（「気象庁ホームページ」による）
統計期間：1950年1月～2018年12月
（%）

順位	月												年	
	1	2	3	4	5	6	7	8	9	10	11	12		
1	極値	22	15	12	10	9	18	26	23	22	17	25	27	9
	起年	1989	2004	2001	2000	2016	2009	2001	2000	2016	1989	2017	1997	2016
2	日	31	19	20	1	4	2	4	24	1	25	10	5	5月4日
	極値	22	16	13	11	11	19	31	27	26	21	25	27	10
3	起年	1980	2002	2001	2011	2014	2002	2000	1986	2001	2003	2013	1962	2000
	日	12	8	22	10	4	7	12	29	18	28	8	25	4月1日
3	極値	24	19	14	12	12	19	35	27	28	21	26	28	11
	起年	1999	2004	2002	2014	2009	1974	1992	1969	1990	1994	2008	2000	2014
	日	27	28	19	15	10	2	27	24	9	6	6	15	5月4日

注) 米子測候所は2008年（平成20年）10月1日に無人化され、米子特別地域気象観測所となった。

第2.2-10表 日最小相対湿度の順位 (鳥取地方気象台)

(「気象庁ホームページ」による)
統計期間：1950年1月～2018年12月
(%)

順位	月												年
	1	2	3	4	5	6	7	8	9	10	11	12	
1	極値	20	13	11	8	15	25	21	19	17	20	23	8
	起年	2007	2013	2003	2001	2009	1981	2000	2001	2014	2003	1987	2009
2	日	1	28	23	27	9	26	24	18	19	18	28	5月9日
	極値	21	13	13	10	9	27	29	21	19	23	24	8
3	起年	1989	2004	2016	2014	2016	2007	2007	1990	2009	2005	2003	2001
	日	7	19	17	14	4	24	25	9	31	10	25	4月27日
3	極値	22	14	13	10	10	28	29	24	20	23	24	9
	起年	2010	2002	1993	2004	2009	1978	2006	1987	2001	1998	1987	2016
	日	27	8	30	18	14	31	24	20	27	15	25	5月4日

第2.2-11表 日降水量の最大値 (松江地方気象台)

(「気象庁ホームページ」による)
統計期間：1940年7月～2018年12月
(mm)

順位	月												年
	1	2	3	4	5	6	7	8	9	10	11	12	
1	極値	47.5	72.0	62.0	94.8	159.5	156.0	188.2	209.7	156.5	68.0	64.2	263.8
	起年	2009	1971	2018	1946	2011	1993	1944	1943	1945	1948	1959	1964
	日	10	4	21	24	11	29	25	20	10	19	17	7月18日
2	極値	46.0	65.5	61.0	90.3	98.5	152.0	156.0	197.0	132.7	66.5	63.5	220.0
	起年	1998	1985	1991	1953	2003	1996	1961	1945	1951	1980	2016	1988
	日	15	19	22	29	31	25	8	17	14	21	27	7月13日
3	極値	45.0	62.5	59.0	78.5	78.0	143.5	123.2	170.5	127.7	62.5	59.5	209.7
	起年	2017	1968	1966	1976	1983	2001	1959	2000	1941	2000	2004	1943
	日	23	15	3	30	16	19	8	22	1	1	4	9月20日

第2.2-12表 日降水量の最大値（米子特別地域気象観測所）

（「気象庁ホームページ」による）
統計期間：1939年6月～2018年12月
（mm）

順位	月												年	
	1	2	3	4	5	6	7	8	9	10	11	12		
1	極値	59.0	59.5	68.6	84.0	167.5	165.5	206.8	109.0	178.8	147.0	110.1	68.0	206.8
	起年	2011	1979	1966	1946	2011	1993	1964	1976	1942	1979	1948	2010	1964
	日	1	28	3	24	11	29	18	11	21	19	19	31	7月18日
2	極値	53.5	56.7	56.0	79.7	94.0	154.9	204.0	106.5	177.5	145.8	79.5	65.1	204.0
	起年	2017	1950	1991	1953	1980	1963	1968	1959	2018	1945	1980	1959	1968
	日	23	9	22	29	21	3	15	8	30	10	21	17	7月15日
3	極値	52.0	55.6	52.0	70.5	90.5	151.5	180.0	105.0	161.8	128.5	72.5	64.0	180.0
	起年	1953	1952	2014	1998	1983	2008	2006	1975	1943	2017	1970	2004	2006
	日	12	17	13	1	16	20	18	6	20	22	15	4	7月18日

注) 米子測候所は2008年（平成20年）10月1日に無人化され、米子特別地域気象観測所となった。

第2.2-13表 日降水量の最大値 (鳥取地方気象台)

(「気象庁ホームページ」による)
統計期間：1943年1月～2018年12月
(mm)

順位	月												年	
	1	2	3	4	5	6	7	8	9	10	11	12		
1	極値	94.5	69.0	51.0	73.8	150.5	145.5	178.0	114.0	187.5	160.5	85.0	116.6	187.5
	起年	2009	2017	2008	1961	1980	1945	1981	2013	1976	1979	1990	1945	1976
	日	10	10	19	26	21	12	3	1	10	19	4	18	9月10日
2	極値	79.5	65.4	50.0	64.8	121.0	107.5	155.7	97.5	178.7	143.0	77.5	78.5	178.7
	起年	1953	1945	2014	1952	2011	1993	1964	1982	1959	2017	1976	1983	1959
	日	12	5	13	20	11	29	15	1	26	22	14	25	9月26日
3	極値	74.2	58.5	50.0	64.5	92.0	96.5	142.0	87.5	157.5	135.5	77.1	67.0	178.0
	起年	1954	1988	2010	1986	2011	1972	1997	1989	1990	2004	1948	1992	1981
	日	25	3	9	22	29	8	17	27	19	20	19	8	7月3日

第2.2-14表 1時間降水量の最大値 (松江地方気象台)

(「気象庁ホームページ」による)
統計期間：1940年7月～2018年12月
(mm)

順位	月												年	
	1	2	3	4	5	6	7	8	9	10	11	12		
1	極値	10.8	19.0	27.0	18.0	26.0	45.4	69.0	77.9	75.0	34.0	27.7	19.0	77.9
	起年	1957	2004	2007	1974	1980	1958	2013	1944	2012	1998	1950	1964	1944
	日	9	22	31	7	15	28	15	25	15	17	4	27	8月25日
2	極値	10.5	13.0	16.5	17.2	24.0	40.0	60.5	65.0	67.8	28.0	19.0	15.8	75.0
	起年	2008	2017	1997	1946	1997	1953	1952	1961	1942	1989	2015	1961	2012
	日	2	20	1	24	15	23	29	8	12	2	17	2	9月15日
3	極値	10.5	11.0	15.4	16.1	22.5	36.0	58.0	58.0	65.5	28.0	16.5	15.5	69.0
	起年	1950	1993	1949	1958	1972	1979	2006	2013	2003	1955	1951	2018	2013
	日	30	7	10	22	9	26	17	23	6	4	1	4	7月15日

第2.2-15表 1 時間降水量の最大値（米子特別地域気象観測所）

（「気象庁ホームページ」による）
統計期間：1939年6月～2018年12月
（mm）

順位	月												年	
	1	2	3	4	5	6	7	8	9	10	11	12		
1	極値	14.5	12.0	23.0	17.5	22.6	36.5	66.5	54.5	57.9	42.0	18.4	23.7	66.5
	起年	2011	2004	2007	1980	1954	2017	2013	1975	1961	1987	1948	1964	2013
	日	1	22	31	6	30	29	15	7	9	17	19	27	7月15日
2	極値	10.6	10.2	16.5	17.0	22.0	36.5	62.1	54.5	53.7	33.5	17.5	18.5	62.1
	起年	1963	1950	2007	1989	1997	1985	1961	1973	1949	2004	1973	1953	1961
	日	15	10	30	11	15	12	9	25	17	10	2	7	7月9日
3	極値	9.5	9.5	15.5	15.5	21.6	35.9	52.5	50.2	53.0	32.5	15.5	13.5	57.9
	起年	1997	2017	1966	2012	1960	1961	1988	1967	1943	1998	1977	1978	1961
	日	10	20	3	3	30	30	13	29	19	17	1	19	9月9日

注) 米子測候所は2008年（平成20年）10月1日に無人化され、米子特別地域気象観測所となった。

第2.2-16表 1時間降水量の最大値 (鳥取地方気象台)

(「気象庁ホームページ」による)
統計期間：1943年1月～2018年12月

順位	月												年	
	1	2	3	4	5	6	7	8	9	10	11	12		
1	極値	16.5	10.2	15.5	16.5	33.4	51.5	68.0	53.5	60.0	41.5	22.5	17.0	68.0
	起年	1970	1963	2007	2017	1953	1972	1981	1968	1975	1996	1990	2004	1981
	日	4	3	31	18	29	8	3	10	26	25	4	4	7月3日
2	極値	15.0	10.0	13.5	16.5	26.5	41.5	56.5	52.0	58.0	40.5	20.0	15.5	60.0
	起年	2009	2017	1980	2017	1987	2007	1987	2016	1969	1998	1976	2003	1975
	日	10	12	31	17	23	8	14	16	7	18	14	12	9月26日
3	極値	13.0	10.0	11.0	15.0	24.5	34.0	52.5	50.0	56.5	40.5	19.0	15.5	58.0
	起年	1993	2004	2000	1985	2018	1999	1965	1976	2017	1998	1973	1992	1969
	日	7	22	28	20	18	29	21	28	17	17	2	8	9月7日

第2.2-17表 積雪の深さの月最大値の順位 (松江地方気象台)

(「気象庁ホームページ」による)
統計期間：1940年10月～2018年12月
(cm)

順位	月											
	1	2	3	4	11	12	年					
1	極値	100	32	0	4	53	100					
	起年	1971	2005	1996	1963	1983	1971					
	日	4	14	3	30	27	2月4日					
2	極値	83	29	0	2	51	83					
	起年	2011	2001	1990	1970	2010	1963					
	日	1	9	5	30	31	2月3日					
3	極値	51	58	29	0	29	62					
	起年	1942	1947	1972	1972	1980	1963					
	日	20	18	10	1	30	1月26日					

第2.2-18表 積雪の深さの月最大値の順位 (米子特別地域気象観測所)

(「気象庁ホームページ」による)
統計期間：1940年1月～2018年12月
(cm)

順位	月											
	1	2	3	4	11	12	年					
1	極値	80	36	1	6	76	89					
	起年	1963	2001	1990	1970	2010	2011					
	日	4	9	5	30	31	1月1日					
2	極値	63	29	0	1970	41	80					
	起年	1971	1977	1972	1978	1999	1963					
	日	5	5	1	28	22	2月4日					
3	極値	53	25	0	1	40	76					
	起年	1968	2005	1962	1976	1980	2010					
	日	22	13	4	29	31	12月31日					

第2.2-19表 積雪の深さの月最大値の順位 (鳥取地方気象台)

(「気象庁ホームページ」による)
統計期間：1943年1月～2018年12月
(cm)

順位	月												年
	1	2	3	4	10	11	12	12	12	12	12	12	
1	極値	129	61	8	0	18	95	129					
	起年	1947	1987	1958	1943	1970	1983	1947					
	日	22	1	1	29	30	26	2月22日					
2	極値	105	61	0	-	5	65	105					
	起年	1977	1984	1996	-	1976	1984	1977					
	日	18	1	12	-	30	30	2月18日					
3	極値	94	51	0	-	4	60	95					
	起年	1945	2005	1990	-	1971	1945	1983					
	日	25	13	5	-	30	19	12月26日					

第2.2-20表 最大瞬間風速の順位 (松江地方気象台)

(「気象庁ホームページ」による)
統計期間：1940年7月～2018年12月
(m/s)

順位	月												年	
	1	2	3	4	5	6	7	8	9	10	11	12		
1	極値	34.0	31.8	35.3	35.7	34.6	37.1	30.7	37.7	56.5	41.2	31.8	36.3	56.5
	風向	NNW	W	WSW	WSW	W	NNE	W	W	WNW	W	WSW	WSW	WNW
	起年	1971	1998	2007	2012	2016	1997	1991	1956	1991	1980	2004	1990	1991
	日	5	8	5	3	4	28	7	17	27	26	26	11	9月27日
2	極値	33.2	31.7	32.9	32.1	31.7	32.3	29.8	34.6	37.5	38.9	31.5	35.0	41.2
	風向	W	W	W	WSW	WSW	WSW	W	S	SSW	NE	W	W	W
	起年	1971	1981	1979	2000	1989	1986	1991	1942	1999	1951	1988	1980	1980
	日	4	26	30	22	14	25	8	28	24	15	25	4	10月26日
3	極値	32.3	31.2	31.7	31.4	28.6	32.2	27.4	33.6	37.4	35.8	30.3	33.9	38.9
	風向	WSW	W	S	WSW	WSW	SW	E NE	WSW	NW	NE	W	WSW	NE
	起年	1997	2000	2002	1974	1965	2003	1997	2004	1944	2004	2006	2017	1951
	日	1	8	21	21	21	19	26	30	17	20	7	11	10月15日

第2.2-21表 最大瞬間風速の順位 (米子特別地域気象観測所)

(「気象庁ホームページ」による)
統計期間：1939年6月～2018年12月
(m/s)

順位	月												年	
	1	2	3	4	5	6	7	8	9	10	11	12		
1	極値	30.2	26.9	32.6	31.3	30.5	33.1	29.9	33.4	45.2	32.8	28.4	29.4	45.2
	風向	NNW	S	W	S	S	S	S	NE	W	NW	ENE	SSE	W
	起年	1971	2007	1941	1952	1973	1990	1940	1941	1991	1951	1953	1948	1991
	日	5	14	27	12	8	9	14	15	15	15	11	31	9月27日
2	極値	29.6	26.6	28.5	30.6	28.6	27.9	25.4	33.1	37.9	29.4	27.9	26.6	37.9
	風向	NW	NNW	WSW	S	SSE	ENE	NE	W	WNW	NNE	ENE	WSW	WNW
	起年	1953	1949	1979	1942	1973	1949	1997	1956	1954	2004	1950	1952	1954
	日	23	28	30	20	2	21	26	17	17	26	20	5	4
3	極値	29.6	26.3	28.4	29.8	28.2	27.8	23.9	30.2	37.8	27.8	26.8	26.2	37.8
	風向	NNW	NW	S	W	S	NNE	WSW	ENE	SW	NE	NNE	W	SW
	起年	1950	1946	1998	1943	1956	1997	1964	1971	1945	1945	1952	2005	1945
	日	10	16	19	13	5	28	18	30	18	10	28	4	9月18日

第2.2-22表 最大瞬間風速の順位 (鳥取地方気象台)

(「気象庁ホームページ」による)
統計期間：1943年1月～2018年12月
(m/s)

順位	月												年		
	1	2	3	4	5	6	7	8	9	10	11	12			
1	極値	32.6	29.5	33.1	34.6	31.3	33.5	27.4	31.6	48.6	38.0	32.3	30.6	48.6	
	風向	NW	S	S	S	S	NE	S	S	S	NE	SSE	NNW	S	
	起年	1971	1990	1995	1983	1973	1997	1999	1990	1990	1991	2004	1997	1990	1991
	日	5	19	16	14	8	28	27	22	22	27	20	25	11	9月27日
2	極値	32.0	29.4	31.6	33.9	31.2	33.5	25.9	31.0	44.0	30.5	31.7	30.5	44.0	
	風向	WNW	NNE	S	S	S	S	S	S	NW	NW	NNW	NW	NW	
	起年	1961	1987	1981	2005	1999	1990	2000	1987	1961	1951	1988	1986	1961	
	日	11	3	25	20	19	9	31	31	31	16	15	18	28	9月16日
3	極値	31.0	28.5	31.3	33.7	29.8	32.2	25.0	29.0	40.1	29.9	30.8	27.3	40.1	
	風向	NNW	NNW	S	S	S	S	S	NNW	SSE	NNE	S	NNW	SSE	
	起年	1994	1968	2009	1994	2007	1993	1959	1975	2004	2017	1997	1980	2004	
	日	29	24	13	12	17	2	8	23	7	23	26	24	9月7日	

第2.2-23表 台風歴（松江地方気象台）

（「気象庁ホームページ」による）
統計期間：1940年7月～2018年12月

順位	最低海面 気圧 (hPa)	起年月日	最大瞬間風速 (m/s) (記録された月・日・時刻)	日降水量 (mm) (記録された月・日)	備 考
1	966.1	1991. 9.27	56.5 (9月27日 23時04分)	8.0 (9月28日)	台風番号9119 (19号台風)
2	968.3	1951.10.15	38.9 (10月15日 1時08分)	132.7 (10月14日)	台風番号5115 (ルース台風)
3	968.8	1945. 9.18	28.7 (9月18日 3時41分)	197.0 (9月17日)	台風番号4516 (枕崎台風)
4	969.0	2004. 9. 7	35.8 (9月7日 17時32分)	34.5 (9月7日)	台風番号0418 (18号台風)
5	970.8	1954. 9.26	35.5 (9月26日 8時39分)	90.7 (9月25日)	台風番号5415 (洞爺丸台風)

第2.2-24表 台風歴（米子特別地域気象観測所）

（「気象庁ホームページ」による）
統計期間：1939年6月～2018年12月

順位	最低海面 気圧 (hPa)	起年月日	最大瞬間風速 (m/s) (記録された月・日・時刻)	日降水量 (mm) (記録された月・日)	備 考
1	967.1	1951.10.15	32.8 (10月15日 8時43分)	122.6 (10月14日)	台風番号5115 (ルース台風)
2	968.0	1991. 9.27	45.2 (9月27日 23時06分)	6.5 (9月27日)	台風番号9119 (19号台風)
3	968.1	1954. 9.26	37.9 (9月26日 8時56分)	45.6 (9月25日)	台風番号5415 (洞爺丸台風)
4	968.8	1945. 9.18	37.8 (9月18日 2時47分)	145.8 (9月17日)	台風番号4516 (枕崎台風)
5	970.2	2004. 9. 7	36.0 (9月7日 15時23分)	32.0 (9月 7日)	台風番号0418 (18号台風)

第2.2-25表 台風歴（鳥取地方気象台）

（「気象庁ホームページ」による）
統計期間：1943年～2018年12月

順位	最低海面 気圧 (hPa)	起年月日	最大瞬間風速 (m/s) (記録された月・日・時刻)	日降水量 (mm) (記録された月・日)	備 考
1	966.1	1954. 9.26	32.1 (9月26日 8時26分)	29.2 (9月25日)	台風番号5415 (洞爺丸台風)
2	970.0	1951.10.15	30.5 (10月15日 9時38分)	119.1 (10月14日)	台風番号5115 (ルース台風)
3	970.0	1945. 9.18	34.6 (9月18日 4時49分)	115.6 (9月17日)	台風番号4516 (枕崎台風)
4	972.6	1991. 9.27	48.6 (9月27日 22時49分)	6.5 (9月27日)	台風番号9119 (19号台風)
5	972.7	1961. 9.16	44.0 (9月16日14時42分)	60.2 (9月15日)	台風番号6118 (第2室戸台風)

第2.2-26表 気象データ（気温、風速、卓越風向、湿度）

（「気象庁ホームページ」による）

統計期間：2003年～2012年

年	月	鹿島地域気象観測所				松江地方気象台		
		最高気温 [°C]	最大風速		卓越 風向	最高 気温 [°C]	最小 湿度 [%]	最大風速 [m/s]
			風速 [m/s]	風向 [16方位]				
2003	3月	20.1	9	西南西	北北東	20.2	12	11.3
	4月	26.2	14	南西	東北東	26.9	14	17.7
	5月	30.1	8	北北東	東南東	30.8	30	13.8
	6月	29.1	14	南西	東	29.9	24	17.0
	7月	29.7	9	南西	北	31.7	53	13.3
	8月	33.6	9	西北西	北東	36.2	39	15.0
2004	3月	22.8	12	西南西	北東	24.5	15	14.4
	4月	28.0	13	南西	東北東	28.6	21	16.4
	5月	29.0	10	南西	南西	28.8	21	14.4
	6月	35.1	10	南西	北	33.6	25	13.5
	7月	34.1	9	南西	南西	35.8	44	13.6
	8月	34.8	13	西南西	東	35.9	37	19.3
2005	3月	20.4	11	西南西	南西	20.8	29	14.4
	4月	29.3	13	南西	南西	29.5	20	14.4
	5月	26.4	9	西南西	東北東	28.1	15	12.7
	6月	33.8	11	南西	南西	34.0	38	15.1
	7月	32.8	9	南西	西	34.1	50	14.7
	8月	34.1	6	南西	南西	35.2	42	10.7
2006	3月	18.3	9	西	西	19.1	22	13.9
	4月	25.9	11	南西	南西	26.7	21	15.5
	5月	30.6	10	南西	西	31.1	26	12.6
	6月	30.4	10	東南東	南西	30.4	35	12.3
	7月	33.3	11	南西	南西	33.5	53	13.0
	8月	34.4	7	東南東	北	35.8	36	9.5
2007	3月	22.0	14	南西	西	23.3	20	19.1
	4月	25.3	10	南西	北	26.7	15	13.7
	5月	27.5	11	南西	南西	29.4	20	15.4
	6月	31.4	9	南西	北北東	31.7	38	12.2
	7月	31.0	8	北東	南西	32.2	38	13.3
	8月	35.8	10	南西	東	37.2	37	12.9
2008	3月	19.9	10	西南西	北北東	20.7	23	12.5
	4月	24.9	11.7	西南西	東北東	25.0	14	14.8
	5月	29.8	8.0	東	東北東	31.0	19	11.7
	6月	31.4	9.5	南西	北東	31.2	27	14.5
	7月	33.9	10.2	西	東北東	36.3	47	11.9
	8月	34.5	9.2	南西	北東	36.3	36	13.4
2009	3月	24.3	10.8	西南西	東北東	25.3	29	14.4
	4月	24.9	11.8	西	東北東	26.0	14	16.5
	5月	28.3	10.3	南西	北東	28.8	14	15.6
	6月	31.4	9.8	西	東北東	32.3	32	12.2
	7月	32.6	9.3	西南西	南西	33.4	48	14.1
	8月	32.7	9.1	南西	北東	34.1	41	10.2
2010	3月	24.7	13.9	西南西	北東	26.4	22	18.0
	4月	22.3	11.8	南西	東北東	23.5	17	14.7
	5月	28.2	10.9	西南西	東北東	28.1	23	13.8
	6月	31.2	9.8	西南西	東北東	31.5	23	9.8
	7月	33.8	11.1	南西	南西	34.0	47	11.3
	8月	37.5	9.7	南西	東	37.4	41	12.1
2011	3月	18.3	11.6	西	西	19.3	26	13.8
	4月	24.8	9.9	西	東北東	26.3	23	14.1
	5月	28.8	11.3	南西	東北東	29.5	31	16.7
	6月	32.8	10.3	南西	東	32.4	33	11.7
	7月	34.5	10.7	北東	東	35.6	46	16.4
	8月	35.2	9.6	南西	東	35.0	45	13.1
2012	3月	21.4	12.6	西	西	21.4	22	16.2
	4月	25.3	20.2	南西	南西	27.8	17	22.1
	5月	27.5	12.1	南西	東	28.4	26	13.0
	6月	29.0	9.7	西南西	東	30.2	31	13.6
	7月	34.4	11.6	南西	東	35.9	45	13.3
	8月	36.4	9.2	南西	東	36.3	38	11.9

第2.3-1表 観測項目一覧表

1. 通常観測

観測項目	観測位置			気象測器 又は観測方法	観測期間
	場所 ^(注1)	地上高 (m)	標高 (m)		
風向・風速 ^(注2)	敷地内A点	20	28.5	超音波風向風速計	1977年5月～継続 (1993年9月標高35mから移転) ^(注3)
風向・風速 ^{(注2)(注4)}	敷地内B点	50	65	ドップラーソーダ	1993年12月～継続
		115	130		
日射量	敷地内C点	1.5	75.5	電気式日射計	1976年4月～継続
放射収支量	敷地内C点	1.5	75.5	風防型放射収支計	1976年4月～継続
降水量	敷地内A点	0.5	9	転倒ます型雨量計	1967年9月～継続 (1993年9月標高15.5mから移転) ^(注3)
気温	敷地内A点	1.5	10	白金抵抗温度計	1967年9月～継続 (1993年9月標高16.5mから移転) ^(注3)
湿度	敷地内A点	1.5	10	毛髪湿度計	1976年2月～継続 (1993年9月標高16.5mから移転) ^(注3)
風向・風速	敷地内D点	20	90	風車型風向風速計	1967年9月～2006年9月 (2007年1月除却)

2. 特別観測

観測項目	観測位置			気象測器 又は観測方法	観測期間
	場所 ^(注1)	地上高 (m)	標高 (m)		
上層風	敷地内E点 ^(注5)	地上～1,000	6～1,006	低層レーウイン ゾンデ	1997年 7月31日～ 8月 6日 10月15日～10月21日 1998年 1月23日～ 1月29日 4月21日～ 4月27日
上層気温	敷地内E点 ^(注5)	地上～1,000	6～1,006	低層レーウイン ゾンデ	1997年 7月31日～ 8月 6日 10月15日～10月21日 1998年 1月23日～ 1月29日 4月21日～ 4月27日

注1) 観測場所のA～E点については第2.3-1図参照。

注2) 正時の風向は正時前10分間の最多風向としている。

注3) 1993年8月までは1号220kV開閉所の東側に設置していた。

注4) 棄却検定に使用している。

注5) 低層レーウインゾンデの放球点。

第2.4-1表 同一風向の継続時間別出現回数 (標高28.5m, 地上高20m)

観測場所：敷地内A点 (標高28.5m, 地上高20m) (回)

継続時間 風向	1	2	3	4	5	6	7	8	9	10h 以上	備考 10h以上の継続時間 (h)
	N	38	4	0	0	0	0	0	0	0	
NNE	11	1	0	0	0	0	0	0	0	0	
NE	23	0	0	0	0	0	0	0	0	0	
ENE	18	1	2	0	0	0	0	0	0	0	
E	42	1	0	0	0	0	0	0	0	0	
ESE	115	10	3	0	1	0	0	0	0	0	
SE	345	83	30	5	3	4	2	1	0	0	
SSE	416	155	82	45	30	23	9	10	7	25	10×2 11×6 12×5 13×4 14×3 15 17×2 19 20 (2.4)
S	364	110	35	20	10	6	6	3	2	3	11 13×2 (2.3)
SSW	195	46	9	4	1	1	1	1	1	0	
SW	127	15	3	0	0	0	0	0	0	0	
WSW	91	4	1	0	0	0	0	0	0	0	
W	195	37	7	2	4	0	0	0	0	0	
WNW	266	77	41	20	13	14	10	6	6	9	10×2 11×2 12 13 14×2 24 (6.5)
NW	278	101	57	26	17	9	12	7	10	14	10×4 11×4 12 13×3 15 17 (4.4)
NNW	170	68	24	20	17	10	9	6	6	15	10×5 11 12 13×2 14 15 17 20 23 29 (6.2)
静穏	250	64	15	1	1	2	0	0	0	0	

注) () は10h以上継続した時の平均風速 (m/s)

欠測率：1.1%

第2.4-2表 同一風向の継続時間別出現回数 (標高65m, 地上高50m)

観測場所：敷地内B点 (標高65m, 地上高50m) (回)

風向	継続時間										10h以上	備考 10h以上の継続時間 (h)
	1	2	3	4	5	6	7	8	9	10h以上		
N	318	70	30	11	2	1	0	1	0	0	0	
NNE	223	39	3	1	0	0	0	0	0	0	0	
NE	138	14	1	0	0	0	0	0	0	0	0	
ENE	155	30	10	0	1	0	0	0	0	0	0	
E	155	32	6	3	0	0	0	0	0	0	0	
ESE	201	13	2	0	0	0	0	0	0	0	0	
SE	351	53	23	4	1	0	0	0	0	0	0	
SSE	557	142	64	21	12	2	1	0	1	2	10×2	(4.5)
S	492	129	75	30	10	7	4	4	0	2	11×2	(3.7)
SSW	298	32	7	2	0	0	0	0	0	0	0	
SW	184	26	3	0	0	0	0	0	0	0	0	
WSW	217	40	10	2	0	0	0	0	0	0	0	
W	238	52	10	2	1	0	0	0	0	0	0	
WNW	251	81	23	16	8	3	2	0	0	0	0	
NW	357	86	23	10	2	0	1	0	0	0	0	
NNW	388	96	32	10	3	3	1	2	1	1	11	(8.0)
静穏	277	22	5	0	1	0	0	0	0	0	0	

注) () は10h以上継続した時の平均風速 (m/s)

欠測率：1.4%

第2.4-3表 同一風向の継続時間別出現回数 (標高130m, 地上高115m)

観測場所：敷地内B点 (標高130m, 地上高115m) (回)

継続時間 風向	1	2	3	4	5	6	7	8	9	10h 以上	備考 10h以上の継続時間 (h)
	N	109	33	10	6	3	1	2	0	0	
NNE	169	49	9	5	4	2	1	1	1	1	(6.4)
NE	219	90	48	22	13	8	1	2	2	8	10×3 11×3 13 14 (5.4)
ENE	219	63	41	19	10	3	3	0	0	2	10 12 (4.7)
E	148	35	13	3	5	1	2	0	1	1	10 (4.2)
ESE	166	34	12	6	1	1	0	0	1	0	
SE	147	81	33	4	4	4	4	1	0	1	10 (6.4)
SSE	217	61	20	9	2	2	1	0	0	0	
S	250	98	34	10	9	4	3	0	0	0	
SSW	283	91	38	22	5	3	2	2	1	1	12 (5.5)
SW	277	81	35	15	7	4	4	0	1	1	12 (3.8)
WSW	250	75	20	7	4	1	0	0	0	0	
W	208	73	19	15	5	4	1	1	1	0	
WNW	170	55	22	20	8	4	4	2	0	4	10×2 11 12 (7.7)
NW	188	35	20	12	5	4	2	1	4	1	12 (8.3)
NNW	144	38	18	8	5	3	1	0	0	2	11 19 (9.2)
静穏	113	23	3	0	1	0	0	0	0	0	

注) () は10h以上継続した時の平均風速 (m/s)

欠測率：1.5%

第2.4-4表 大気安定度の継続時間別出現回数

(回)

継続時間 大気 安定度	1	2	3	4	5	6	7	8	9	10 h 以上
A	65 (63.7)	24 (23.5)	8 (7.8)	1 (1.0)	1 (1.0)	2 (2.0)	1 (1.0)	0 (0.0)	0 (0.0)	0 (0.0)
B	191 (38.9)	123 (25.1)	69 (14.1)	35 (7.1)	27 (5.5)	21 (4.3)	10 (2.0)	8 (1.6)	4 (0.8)	3 (0.6)
C	237 (68.5)	58 (16.8)	22 (6.4)	16 (4.6)	9 (2.6)	3 (0.9)	1 (0.3)	0 (0.0)	0 (0.0)	0 (0.0)
D	331 (37.4)	198 (22.4)	77 (8.7)	55 (6.2)	35 (4.0)	25 (2.8)	20 (2.3)	16 (1.8)	12 (1.4)	116 (13.1)
E	207 (70.6)	53 (18.1)	24 (8.2)	3 (1.0)	4 (1.4)	1 (0.3)	1 (0.3)	0 (0.0)	0 (0.0)	0 (0.0)
F	203 (63.8)	66 (20.8)	29 (9.1)	10 (3.1)	4 (1.3)	3 (0.9)	1 (0.3)	1 (0.3)	1 (0.3)	0 (0.0)
G	196 (41.9)	96 (20.5)	58 (12.4)	31 (6.6)	21 (4.5)	16 (3.4)	19 (4.1)	13 (2.8)	8 (1.7)	10 (2.1)

A・B・C	111 (26.7)	49 (11.8)	35 (8.4)	23 (5.5)	31 (7.5)	25 (6.0)	37 (8.9)	29 (7.0)	25 (6.0)	50 (12.0)
E・F・G	129 (27.4)	66 (14.0)	57 (12.1)	27 (5.7)	25 (5.3)	15 (3.2)	21 (4.5)	13 (2.8)	24 (5.1)	93 (19.8)

注) () 内の数値は%

欠測率1.1%

第2.5-1表 棄却檢定表 (風向) (標高65m, 地上高50m)

統計年 風向	觀測場所：敷地内B点 (標高65m, 地上高50m) (%)											判定 ○選択 ×棄却			
	2008	2010	2011	2012	2013	2014	2015	2016	2017	2018	平均値		檢定年 2009	棄却限界(5%)	
														上限	下限
N	8.10	7.60	7.27	8.72	7.66	7.26	7.30	8.27	5.09	5.15	7.24	7.15	10.12	4.36	○
NNE	3.05	2.66	3.17	3.65	2.82	3.28	4.00	5.44	3.10	2.30	3.35	3.62	5.43	1.26	○
NE	1.65	1.74	2.14	1.96	1.42	1.60	2.41	3.98	1.08	1.26	1.92	1.97	3.88	0.00	○
E NE	2.43	2.01	2.27	2.68	1.75	2.54	2.90	4.83	1.64	1.58	2.46	2.88	4.71	0.22	○
E	3.19	3.04	3.42	4.11	3.00	3.57	4.09	5.41	3.07	2.95	3.58	2.88	5.41	1.76	○
E SE	2.95	2.70	3.56	4.68	5.27	5.02	6.48	5.49	4.57	4.57	4.53	2.68	7.30	1.76	○
SE	6.30	6.79	6.07	7.59	7.70	7.97	8.19	7.20	6.52	6.97	7.13	6.35	8.85	5.42	○
S SE	15.62	15.10	13.28	12.21	12.53	13.32	12.59	12.15	14.25	14.51	13.56	14.33	16.50	10.61	○
S	14.89	13.14	13.51	11.26	11.46	10.79	9.76	9.21	10.20	11.71	11.59	14.69	15.83	7.36	○
S SW	4.15	3.99	4.22	3.17	3.36	3.78	2.87	2.59	4.41	4.33	3.69	4.54	5.22	2.15	○
SW	2.87	3.71	2.90	2.04	2.82	2.92	2.00	1.70	3.58	3.56	2.81	2.83	4.48	1.14	○
WSW	3.58	4.45	3.64	2.81	3.74	3.69	2.90	2.31	4.49	3.92	3.55	3.86	5.21	1.89	○
W	3.87	4.51	4.00	3.62	5.41	4.32	4.17	3.12	6.78	6.64	4.64	4.46	7.59	1.70	○
WNW	6.63	7.81	7.48	6.84	9.06	7.75	7.68	6.45	11.34	10.34	8.14	7.12	11.99	4.29	○
NW	7.64	8.34	8.77	9.77	8.40	8.14	7.72	7.46	8.04	8.33	8.26	7.55	9.83	6.69	○
NNW	9.59	8.42	9.70	10.71	9.28	9.96	9.97	10.21	8.08	7.69	9.36	9.14	11.70	7.02	○
静穏	3.49	3.98	4.60	4.18	4.32	4.08	4.98	4.18	3.75	4.23	4.18	3.95	5.16	3.20	○

第2.5-2表 棄却檢定表 (風向) (標高130m, 地上高115m)

統計年 風向	2008	2010	2011	2012	2013	2014	2015	2016	2017	2018	平均値	檢定年 2009	棄却限界(5%)		判定
													上限	下限	○選択 ×棄却
N	3.71	3.67	4.24	4.31	4.23	3.81	3.88	3.69	2.55	2.79	3.69	3.06	5.09	2.29	○
NNE	5.22	5.26	4.33	5.93	5.56	6.40	4.85	6.30	3.87	3.84	5.15	4.42	7.36	2.95	○
NE	8.33	7.79	6.55	7.39	6.30	9.66	7.73	9.56	7.60	7.07	7.80	10.14	10.47	5.13	○
E NE	7.06	5.85	6.15	5.63	4.31	7.02	6.24	7.25	5.95	5.85	6.13	7.58	8.17	4.09	○
E	3.70	2.90	4.22	4.21	3.39	3.69	5.61	4.69	4.98	4.64	4.20	3.86	6.12	2.28	○
E S E	3.66	3.56	3.53	4.00	3.49	4.97	5.39	4.21	4.54	4.90	4.23	3.68	5.86	2.59	○
S E	6.79	7.68	6.00	6.90	6.48	7.47	7.66	6.95	6.28	8.27	7.05	6.06	8.74	5.36	○
S S E	5.94	6.16	6.22	6.46	6.16	6.38	5.78	7.07	5.75	6.59	6.25	5.42	7.20	5.31	○
S	7.70	8.58	7.56	7.18	7.29	6.45	6.15	7.29	7.03	7.32	7.26	7.84	8.84	5.67	○
S S W	8.80	8.14	8.95	7.86	9.18	7.35	6.74	7.82	6.98	7.08	7.89	8.79	9.95	5.83	○
S W	8.52	8.40	8.20	7.55	9.71	7.31	6.95	6.64	8.72	7.67	7.97	8.21	10.16	5.78	○
W S W	5.16	5.87	5.86	4.58	6.71	4.98	5.19	4.84	5.43	4.95	5.36	5.95	6.85	3.86	○
W	5.67	6.59	6.68	6.17	7.58	6.85	6.38	6.26	7.22	7.14	6.65	6.27	8.00	5.31	○
W N W	7.42	8.39	7.06	7.95	7.69	5.60	6.46	6.17	9.37	8.56	7.47	6.67	10.24	4.69	○
N W	5.64	5.25	6.91	6.57	4.80	5.50	5.70	4.36	6.39	6.20	5.73	5.61	7.63	3.83	○
N N W	4.40	3.51	4.72	4.51	4.89	4.71	6.02	3.94	5.42	4.65	4.68	4.45	6.34	3.02	○
静穏	2.29	2.42	2.84	2.81	2.24	1.85	3.25	2.94	1.91	2.51	2.51	1.98	3.59	1.43	○

第2.5-3表 棄却檢定表 (風速分布) (標高65m, 地上高50m)

観測場所：敷地内B点 (標高65m, 地上高50m) (%)

統計年 風速 分布 (m/s)	2008	2010	2011	2012	2013	2014	2015	2016	2017	2018	平均値	検定年 2009	棄却限界(5%)		判定
													上限	下限	
0.0~0.4	3.49	3.98	4.60	4.18	4.32	4.08	4.98	4.18	3.75	4.23	4.18	3.95	5.16	3.20	○
0.5~1.4	25.17	26.96	26.72	26.08	23.44	25.09	26.68	26.73	22.73	24.04	25.36	26.21	28.99	21.74	○
1.5~2.4	27.71	28.59	27.27	27.09	26.19	27.72	27.20	28.88	26.39	26.77	27.38	28.52	29.45	25.31	○
2.5~3.4	20.22	19.34	18.31	19.06	19.14	18.13	18.29	19.77	18.62	18.86	18.97	19.12	20.58	17.37	○
3.5~4.4	11.91	11.23	10.85	11.72	12.32	11.90	11.18	10.24	12.00	12.31	11.57	11.84	13.17	9.97	○
4.5~5.4	6.21	5.69	6.51	6.98	7.11	6.79	6.12	5.97	7.64	6.94	6.60	5.94	8.02	5.17	○
5.5~6.4	2.75	2.56	3.14	3.44	3.94	3.33	3.10	2.71	4.70	4.12	3.38	2.43	5.01	1.75	○
6.5~7.4	1.35	1.07	1.56	0.98	2.26	1.74	1.42	1.15	2.40	1.75	1.57	1.13	2.71	0.43	○
7.5~8.4	0.60	0.39	0.68	0.34	1.00	0.75	0.82	0.25	1.24	0.74	0.68	0.58	1.40	0.00	○
8.5~9.4	0.39	0.15	0.28	0.10	0.23	0.38	0.20	0.12	0.49	0.19	0.25	0.17	0.56	0.00	○
9.5~	0.21	0.03	0.08	0.02	0.05	0.08	0.02	0.01	0.05	0.03	0.06	0.10	0.19	0.00	○

第2.5-4表 棄却檢定表 (風速分布) (標高130m, 地上高115m)

統計年 風速 分布 (m/s)	觀測場所：敷地内B点 (標高130m, 地上高115m) (%)											棄却限界(5%) 上限	棄却限界(5%) 下限	判定 ○選択 ×棄却		
	2008	2010	2011	2012	2013	2014	2015	2016	2017	2018	2019				平均値	檢定年 2009
0.0~0.4	2.29	2.42	2.84	2.81	2.24	1.85	3.25	2.94	1.91	2.51	2.51	2.51	1.98	3.59	1.43	○
0.5~1.4	10.14	10.25	12.21	11.14	8.71	9.51	12.61	11.83	8.51	10.88	10.58	10.58	11.05	13.93	7.23	○
1.5~2.4	15.09	15.55	16.29	15.56	14.07	15.83	17.98	16.05	13.25	14.77	15.44	15.44	15.38	18.51	12.38	○
2.5~3.4	18.98	16.78	17.20	18.15	17.48	17.13	18.01	17.00	15.83	15.84	17.24	17.24	17.85	19.58	14.90	○
3.5~4.4	17.35	16.72	15.81	16.83	18.09	16.26	15.79	16.54	17.38	16.26	16.70	16.70	17.08	18.45	14.96	○
4.5~5.4	13.28	12.72	12.33	12.94	13.58	13.06	11.16	13.37	14.51	14.68	13.16	13.16	13.62	15.58	10.75	○
5.5~6.4	9.22	9.43	8.46	8.71	9.18	9.14	7.67	8.48	9.17	9.16	8.86	8.86	9.01	10.13	7.60	○
6.5~7.4	5.51	5.74	5.43	5.40	5.74	6.25	5.00	5.37	6.35	5.38	5.62	5.62	5.24	6.60	4.63	○
7.5~8.4	3.23	4.21	3.65	3.22	3.97	3.62	2.94	3.19	4.12	3.77	3.59	3.59	3.03	4.62	2.56	○
8.5~9.4	1.49	2.95	2.06	2.17	2.49	2.52	2.27	2.25	2.93	2.72	2.39	2.39	2.18	3.43	1.34	○
9.5~	3.41	3.21	3.71	3.07	4.45	4.83	3.30	2.97	6.04	4.04	3.90	3.90	3.59	6.20	1.60	○

第2.5-5表 放出源の有効高さ

方位	平常運転時										設計基準事故時
	周辺監視区域境界					敷地境界					
	1号炉 排気筒	1号炉ター ビン 建物排気筒	2号炉 排気筒	3号炉 排気筒	1号炉 排気筒	1号炉ター ビン 建物排気筒	2号炉 排気筒	3号炉 排気筒	2号炉 排気筒	3号炉 排気筒	
E N E	—	—	—	—	135 ^{注)}	145 ^{注)}	160 ^{注)}	170 ^{注)}	135 ^{注)}	170 ^{注)}	135 ^{注)}
E	75	60	115	—	85 ^{注)}	70	115 ^{注)}	150 ^{注)}	90 ^{注)}	150 ^{注)}	90 ^{注)}
E S E	75	55	95	105	80	65	95	105	75	105	75
S E	75	55	140	110	75	55	140	110	65	110	65
S S E	100	50	155	115	100	50	155	115	70	115	70
S	100	45	180	130	100	50	180	130	75	130	75
S S W	100	50	165	170	105	65	180	175	75	175	75
S W	95	45	170	215	100	55	170	215	70	215	70
W S W	90	80	135	190	90	85	135	190	60	190	60
W	85	65	165	220	85	70	165	220	60	220	60
W N W	85	65	170	195	85	65	170	195	65	195	65
N W	85	60	130	155	85 ^{注)}	60 ^{注)}	130 ^{注)}	155 ^{注)}	60 ^{注)}	155 ^{注)}	60 ^{注)}

注) 海を隔てて比較的近距离に陸地に陸地が存在し、この陸地の海岸線を敷地境界として排気筒有効高さを評価した。

第2.5-6表 風向別大気安定度別風速逆数の総和 (標高65m, 地上高50m)

観測場所：敷地内B点 (標高65m, 地上高50m) (s/m)

大気安定度 風向	A	B	C	D	E	F
N	21.08	82.83	25.65	163.61	5.00	30.30
NNE	14.02	70.82	18.48	108.88	1.56	21.95
NE	2.50	46.66	2.12	102.66	1.77	28.85
ENE	1.93	41.85	0.32	133.26	0.11	70.84
E	2.44	25.29	1.33	118.31	0.11	98.16
ESE	0.42	31.88	1.61	119.97	4.30	93.43
SE	7.69	52.00	6.45	223.81	13.12	158.39
SSE	10.57	86.76	19.73	301.56	44.04	273.20
S	5.71	65.55	12.04	322.35	44.06	266.10
SSW	7.18	44.08	8.64	155.84	8.45	137.84
SW	2.15	34.56	3.45	117.30	4.02	69.34
WSW	11.03	37.84	14.92	124.95	7.18	59.44
W	2.99	38.44	28.58	152.35	5.85	42.91
WNW	3.66	34.99	43.92	202.80	7.71	24.15
NW	4.38	58.33	39.79	218.15	6.45	23.33
NNW	11.02	99.59	31.40	200.88	7.73	30.12

第2.5-7表 風向別大気安定度別風速逆数の総和 (標高130m, 地上高115m)

観測場所：敷地内B点 (標高130m, 地上高115m) (s/m)

大気安定度 風向	A	B	C	D	E	F
N	13.23	38.44	10.33	60.56	0.48	22.81
NNE	14.51	47.06	5.04	76.81	5.35	31.02
NE	11.37	84.08	15.66	180.29	2.74	79.48
ENE	6.22	47.96	4.75	153.05	4.24	88.15
E	5.18	28.55	0.78	84.35	1.80	86.18
ESE	3.54	23.07	0.46	67.63	6.76	84.08
SE	4.09	22.30	4.11	85.81	18.05	85.71
SSE	3.36	28.39	5.29	84.36	16.48	63.81
S	5.07	37.76	6.77	112.54	18.99	86.56
SSW	8.95	38.97	5.97	124.05	28.17	81.43
SW	4.97	42.99	7.26	115.43	17.90	92.64
WSW	5.86	41.19	11.41	100.15	2.59	55.60
W	0.64	23.90	27.46	108.89	4.03	32.48
WNW	0.17	12.75	27.00	95.53	3.91	29.03
NW	6.02	39.75	8.49	94.98	3.29	35.80
NNW	6.48	39.35	9.56	74.73	2.17	25.47

第2.5-8表 風向別大気安定度別風速逆数の平均及び風向別風速逆数の平均 (標高65m, 地上高50m)

観測場所：敷地内B点 (標高65m, 地上高50m) (s/m)

大気安定度 風向	A	B	C	D	E	F	全安定度
N	0.63	0.55	0.43	0.47	0.27	0.90	0.51
NNE	0.53	0.67	0.58	0.75	0.31	1.11	0.71
NE	0.59	0.89	0.67	1.04	1.68	1.15	1.00
ENE	0.86	0.85	2.00	0.94	2.00	0.90	0.91
E	0.75	0.98	1.14	0.92	2.00	0.88	0.91
ESE	2.00	0.92	0.74	1.05	0.70	0.97	0.99
SE	0.81	0.77	0.52	0.81	0.42	0.82	0.79
SSE	0.77	0.66	0.43	0.57	0.31	0.64	0.57
S	0.67	0.66	0.37	0.55	0.31	0.58	0.54
SSW	0.85	1.00	0.83	0.83	0.52	0.89	0.86
SW	0.51	0.81	0.48	0.91	0.66	0.91	0.87
WSW	0.67	0.56	0.52	0.77	0.59	0.84	0.72
W	0.57	0.61	0.52	0.65	0.64	1.01	0.66
WNW	0.70	0.64	0.41	0.46	0.58	1.11	0.49
NW	0.53	0.62	0.45	0.48	0.53	1.08	0.51
NNW	0.63	0.56	0.42	0.40	0.45	0.97	0.46

第2.5-9表 風向別大気安定度別風速逆数の平均及び風向別風速逆数の平均 (標高130m, 地上高115m)

観測場所：敷地内B点 (標高130m, 地上高115m) (s/m)

大気安定度 風向	A	B	C	D	E	F	全安定度
N	0.86	0.72	0.44	0.37	0.43	1.06	0.53
NNE	0.57	0.55	0.21	0.38	0.24	0.83	0.45
NE	0.40	0.37	0.21	0.39	0.29	0.75	0.41
ENE	0.60	0.35	0.19	0.44	0.68	0.58	0.45
E	0.71	0.65	0.77	0.64	0.56	0.53	0.59
ESE	0.83	0.60	0.45	0.53	0.41	0.60	0.56
SE	0.65	0.51	0.27	0.39	0.33	0.45	0.41
SSE	0.54	0.49	0.26	0.39	0.31	0.50	0.42
S	0.61	0.52	0.23	0.33	0.31	0.46	0.38
SSW	0.51	0.45	0.20	0.35	0.30	0.41	0.37
SW	0.48	0.43	0.27	0.38	0.31	0.39	0.38
WSW	0.44	0.41	0.30	0.42	0.23	0.43	0.41
W	0.56	0.48	0.27	0.32	0.33	0.62	0.35
WNW	2.00	0.45	0.29	0.23	0.30	0.76	0.29
NW	1.15	0.55	0.30	0.28	0.29	0.82	0.38
NNW	0.89	0.66	0.35	0.28	0.30	0.81	0.39

第2.5-10表 風向出現頻度及び風速0.5~2.0m/sの風向出現頻度
(標高65m, 地上高50m)

観測場所：敷地内B点 (標高65m, 地上高50m) (%)

風 向	風向出現頻度	風速0.5~2.0m/s の風向出現頻度
N	7.3	5.2
NNE	3.8	4.5
NE	2.1	3.8
ENE	3.1	5.3
E	3.1	5.2
ESE	2.9	5.1
SE	6.7	9.5
SSE	14.7	12.4
S	15.1	11.3
SSW	4.8	7.3
SW	3.0	5.0
WSW	4.1	5.0
W	4.7	5.0
WNW	7.3	4.4
NW	7.8	5.2
NNW	9.4	5.7

第2.5-11表 風向出現頻度及び風速0.5~2.0m/sの風向出現頻度
(標高130m, 地上高115m)

観測場所：敷地内B点 (標高130m, 地上高115m) (%)

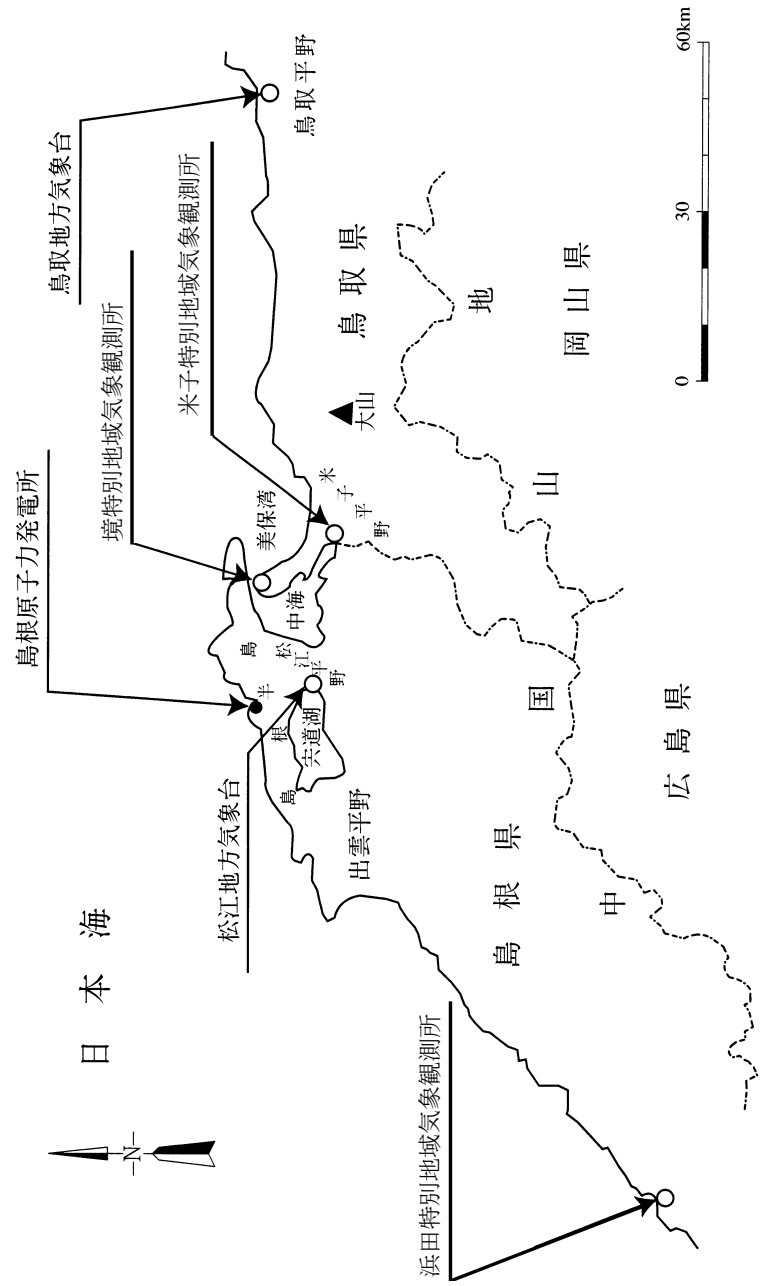
風 向	風向出現頻度	風速0.5~2.0m/s の風向出現頻度
N	3.2	5.2
NNE	4.5	6.1
NE	10.4	11.5
ENE	7.8	9.3
E	4.0	7.3
ESE	3.8	6.2
SE	6.1	6.5
SSE	5.5	6.0
S	8.0	6.7
SSW	8.9	6.3
SW	8.4	6.7
WSW	6.1	5.2
W	6.4	4.4
WNW	6.7	2.7
NW	5.7	5.1
NNW	4.6	4.9

第2.5-12表 安全評価に使用する相対濃度 (α/Q) 及び相対線量 (D/Q)

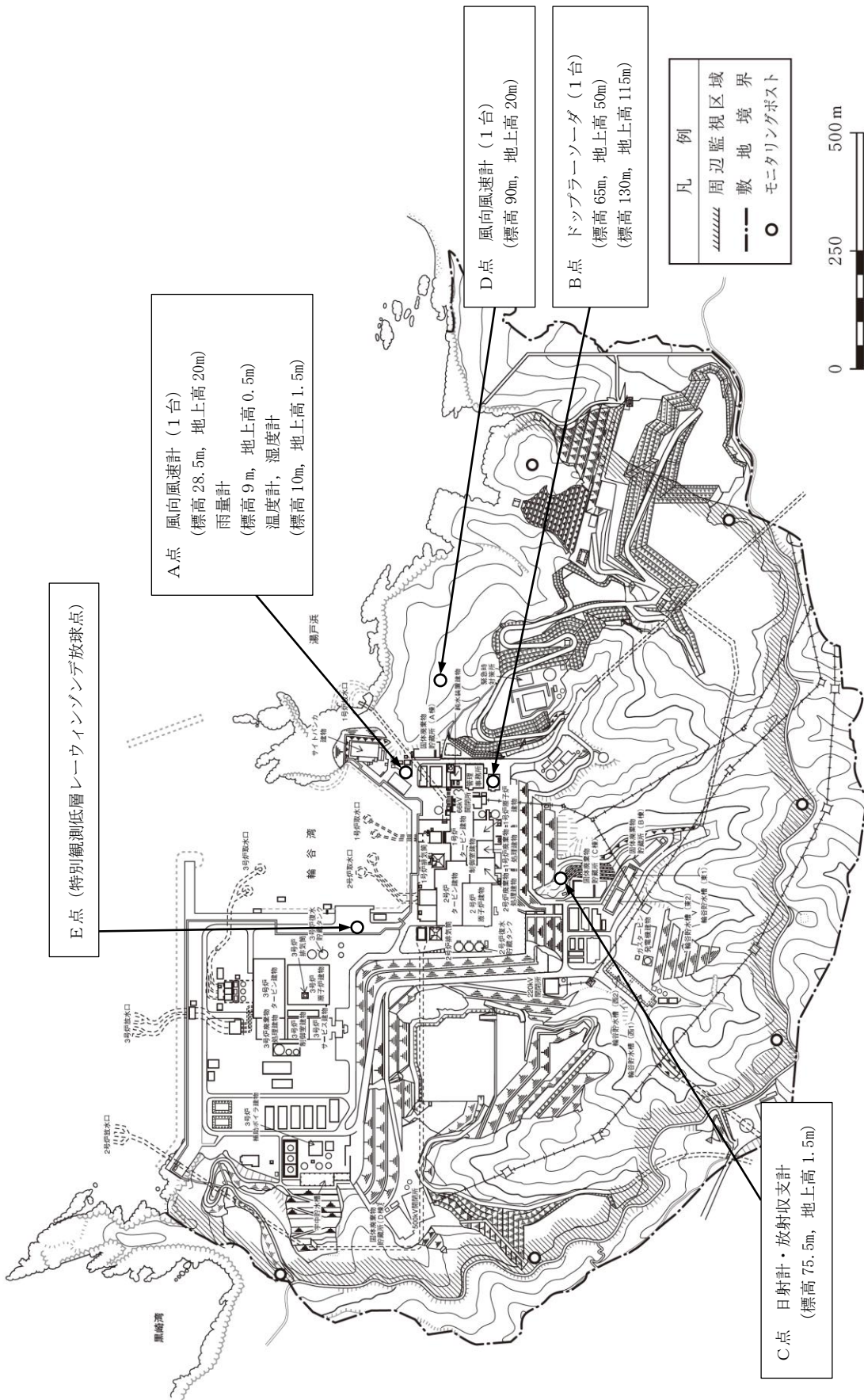
放出条件		相対濃度 (α/Q) (s/m^3)	相対線量 (D/Q) (Gy/Bq)	設計基準事故の種類
実効放出継続時間	放出位置			
1日	非常用ガス処理系 排気管	2.7×10^{-6}	1.5×10^{-19}	原子炉冷却材喪失
1時間	タービン建物	3.3×10^{-4}	2.0×10^{-18}	主蒸気管破断 (主蒸気隔離弁閉止後)
1時間	非常用ガス処理系 排気管	8.8×10^{-6}	2.5×10^{-19}	燃料集合体の落下
1時間	排気筒	8.8×10^{-6}	2.5×10^{-19}	放射性気体廃棄物処理施設の破損 制御棒落下

- 注) 1. 排気筒又は非常用ガス処理系排気管の有効高さは、吹上高さを考慮しない高さにおける風洞実験結果の値を使用する。
 2. タービン建物から放出の場合は放出源の有効高さを0mとする。
 3. 評価に用いる α/Q , D/Q は、陸側方向の方位ごとに求めた累積出現頻度が97%に当たる値のうち最も大きな値とする。

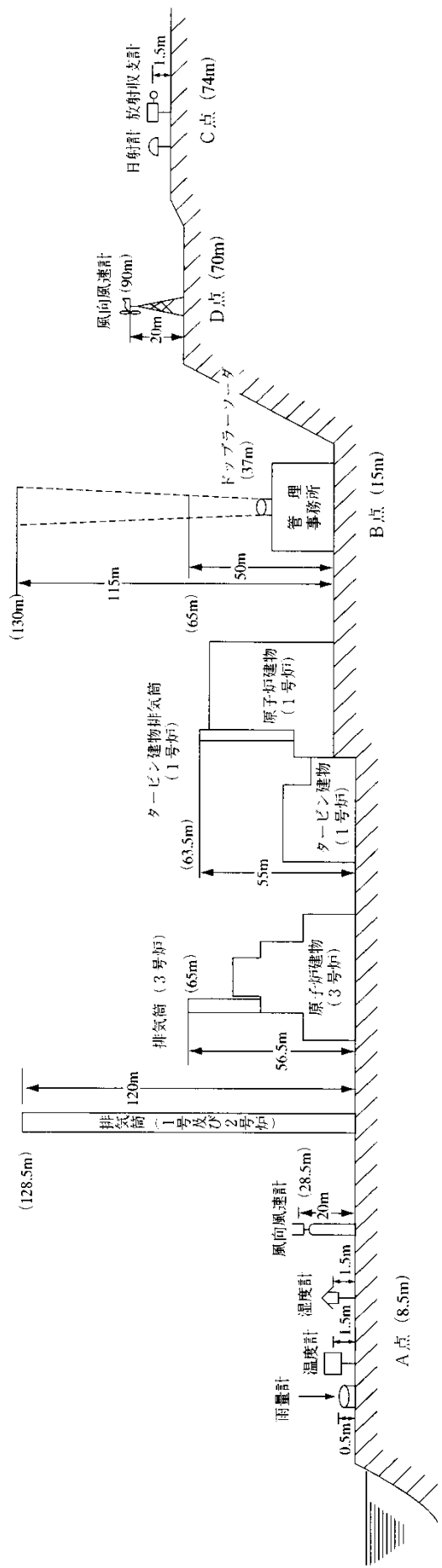
〔その 3 - 9 × 9 燃料が装荷されたサイクル以降（発電用原子炉設置変更許可申請（平成 25 年 12 月 25 日申請））〕



第2.2-1図 気象官署の所在地



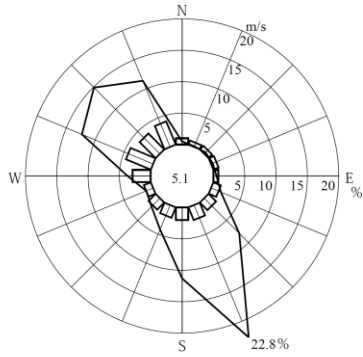
第2.3-1図 気象観測設備配置図 (その1)



注) () 内は標高

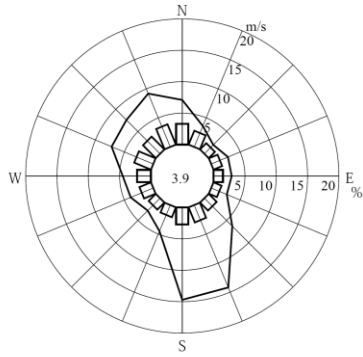
第2.3-2図 気象観測設備配置図 (その2)

標高 28.5 m
(地上高 20 m)



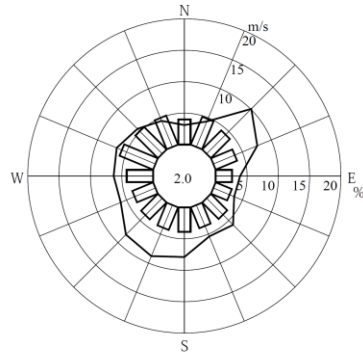
欠測率：1.1%

標高 65 m
(地上高 50 m)



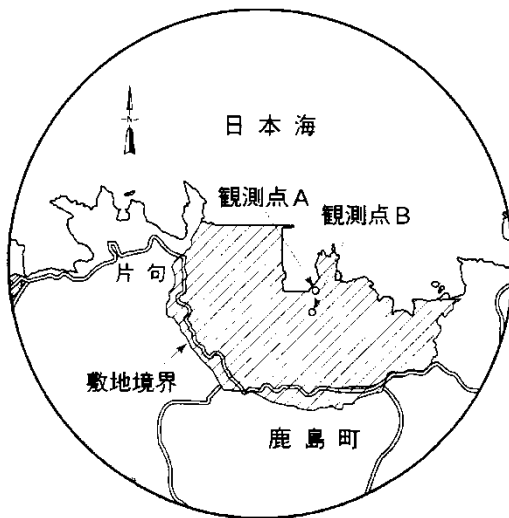
欠測率：1.4%

標高 130 m
(地上高 115 m)



欠測率：1.5%

- 注) 1. — 風向出現頻度 (%)
 □ 平均風速 (m/s)
 2. 小円内の数字は静穏頻度 (%)



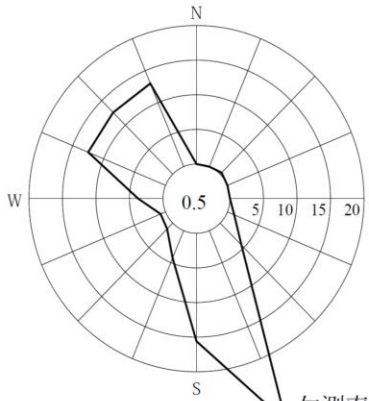
第2.4-1図 敷地の風配図 (2009年1月～12月)

標高 28.5 m
(地上高 20 m)

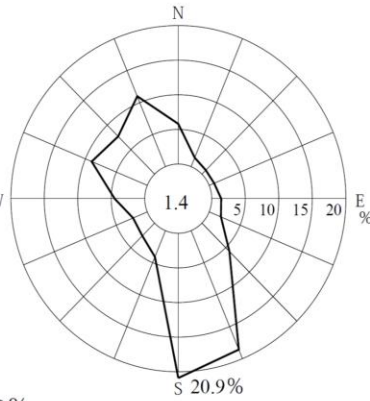
標高 65 m
(地上高 50 m)

標高 130 m
(地上高 115 m)

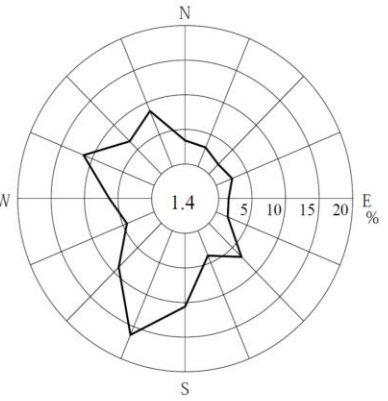
2009年1月



欠測率：0.9%
29.9%

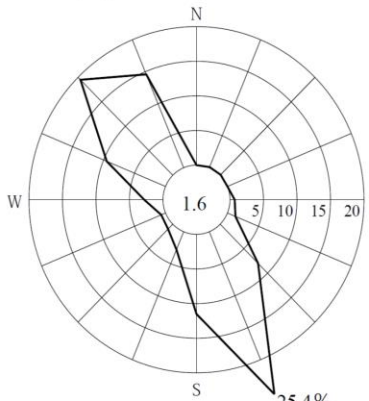


欠測率：1.1%

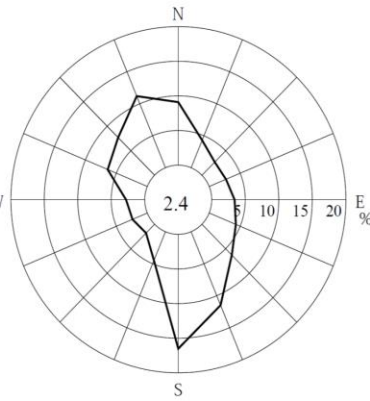


欠測率：1.2%

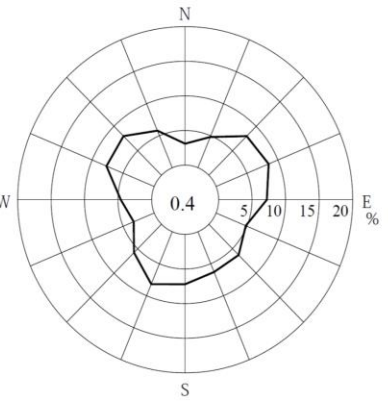
2009年2月



欠測率：0.0%
25.4%

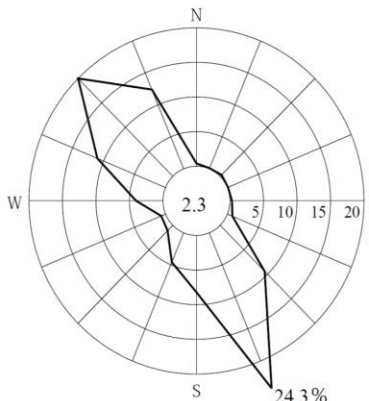


欠測率：0.1%

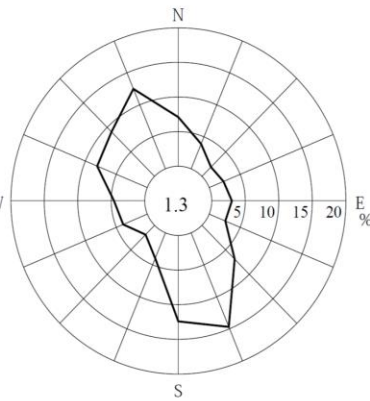


欠測率：0.1%

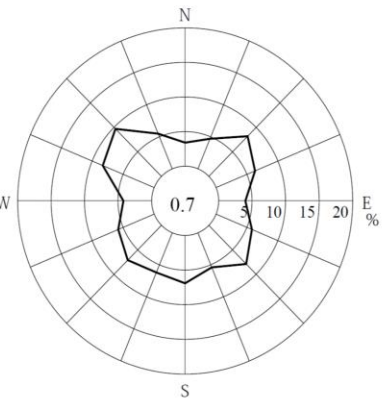
2009年3月



欠測率：0.0%
24.3%



欠測率：0.0%



欠測率：0.0%

注) 小円内の数字は静穏の頻度 (%)

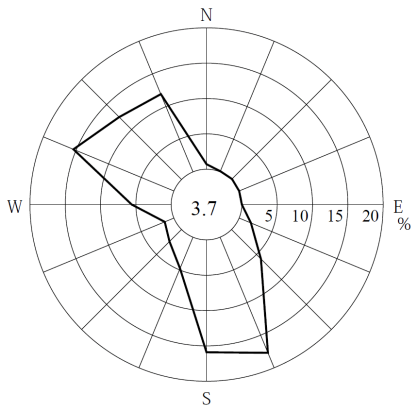
第2.4-2図 敷地の風配図 (その1) (2009年1月~3月)

標高 28.5 m
(地上高 20 m)

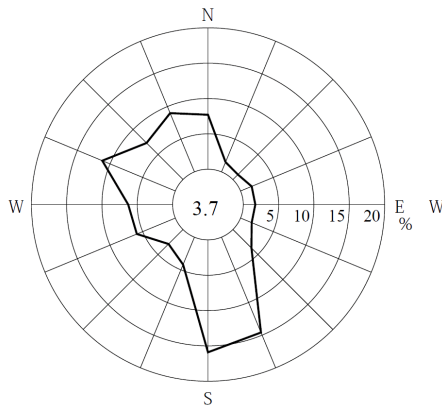
標高 65 m
(地上高 50 m)

標高 130 m
(地上高 115 m)

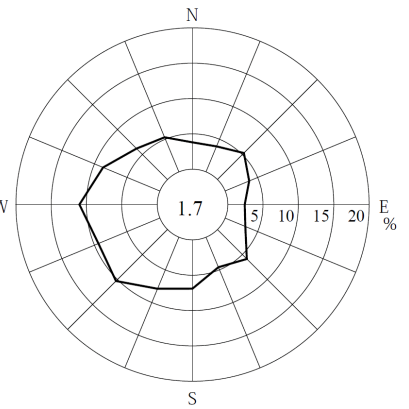
2009年4月



欠測率：1.1%

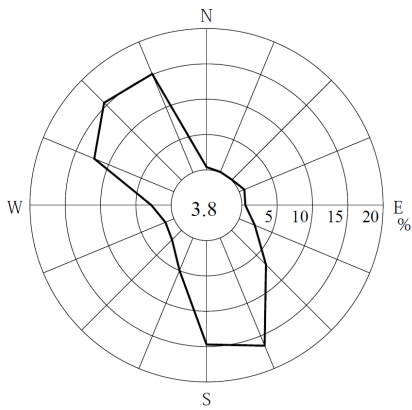


欠測率：1.1%

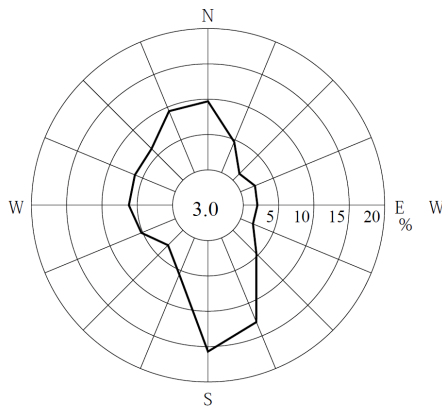


欠測率：1.1%

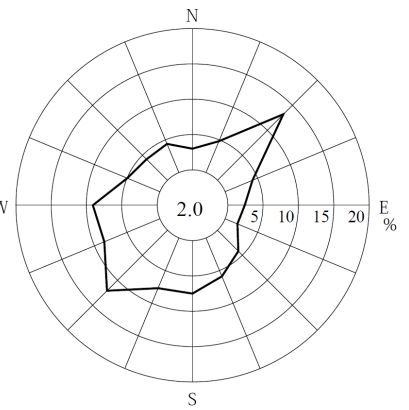
2009年5月



欠測率：0.0%

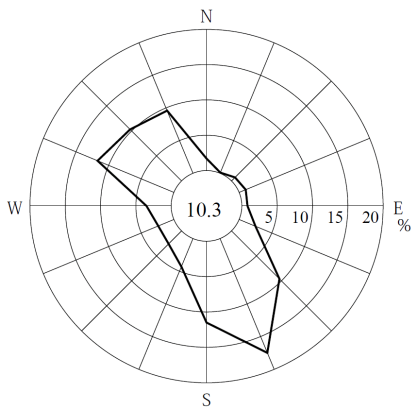


欠測率：0.0%

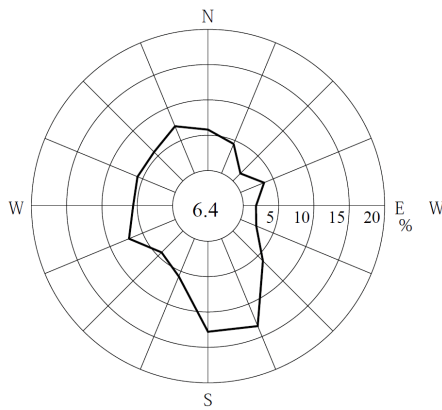


欠測率：0.0%

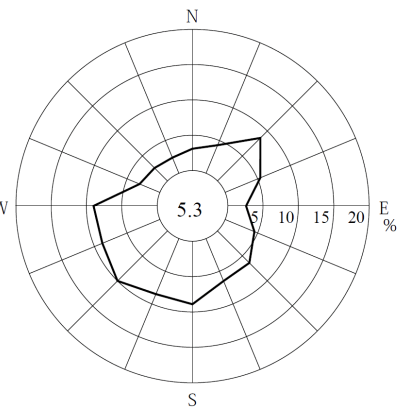
2009年6月



欠測率：0.0%



欠測率：0.3%



欠測率：0.1%

注) 小円内の数字は静穏の頻度 (%)

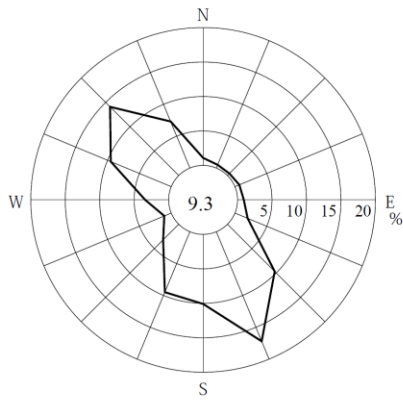
第2.4-3図 敷地の風配図 (その2) (2009年4月~6月)

標高 28.5 m
(地上高 20 m)

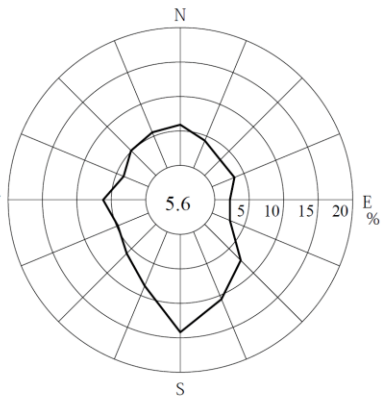
標高 65 m
(地上高 50 m)

標高 130 m
(地上高 115 m)

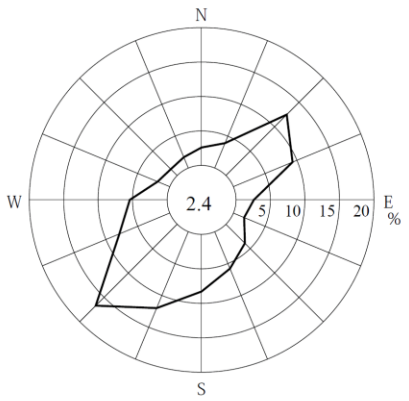
2009年7月



欠測率：0.0%

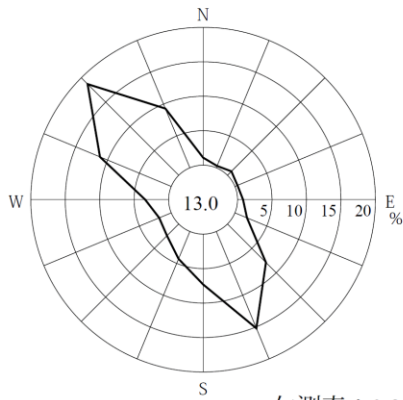


欠測率：0.0%

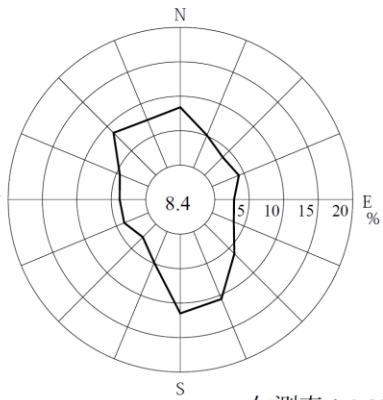


欠測率：0.1%

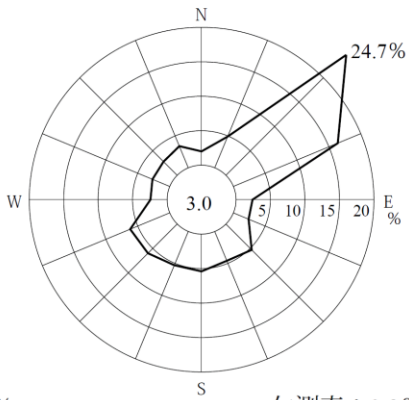
2009年8月



欠測率：0.8%

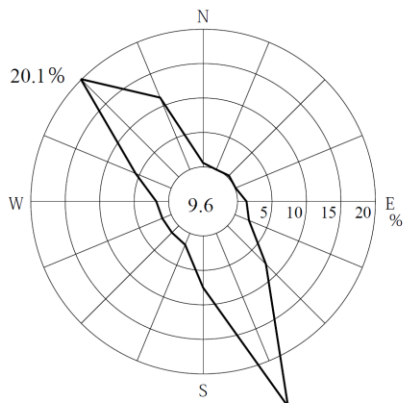


欠測率：0.8%

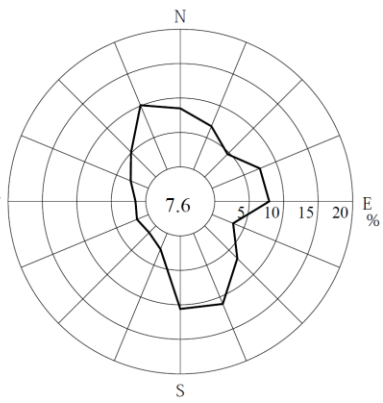


欠測率：0.8%

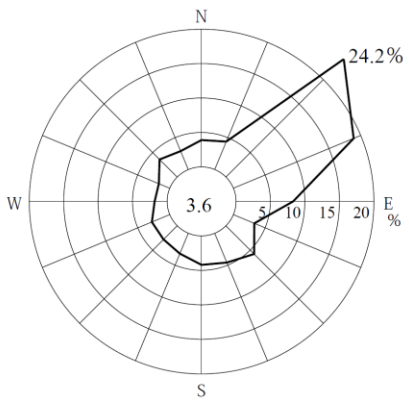
2009年9月



欠測率：0.0%



欠測率：0.0%



欠測率：0.0%

注) 小円内の数字は静穏の頻度 (%)

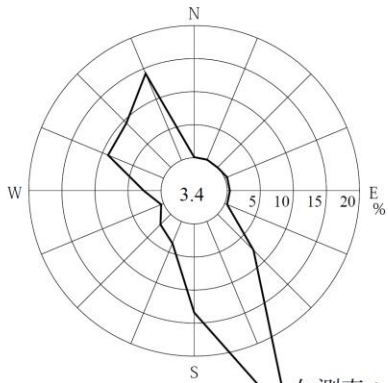
第2.4-4図 敷地の風配図 (その3) (2009年7月~9月)

標高 28.5 m
(地上高 20 m)

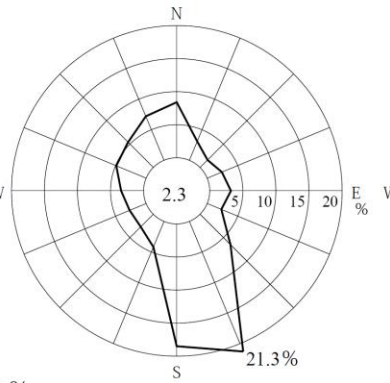
標高 65 m
(地上高 50 m)

標高 130 m
(地上高 115 m)

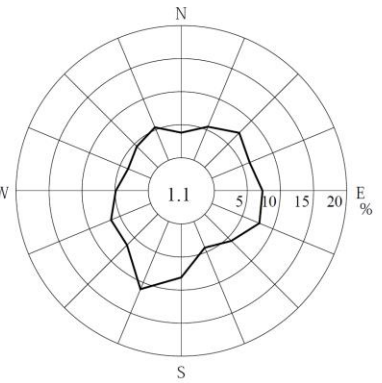
2009年10月



欠測率：0.0%
32.4%

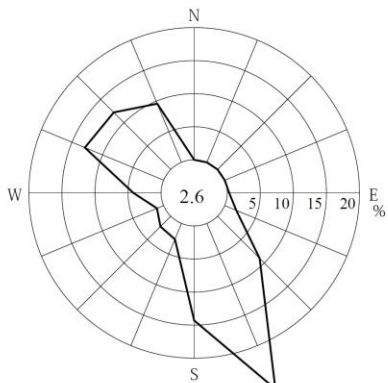


欠測率：0.4%
21.3%

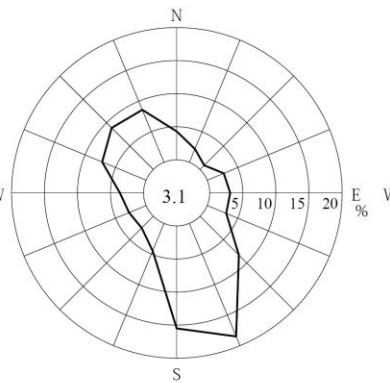


欠測率：0.7%

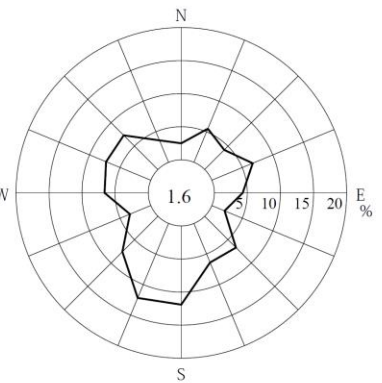
2009年11月



欠測率：3.2%
27.1%

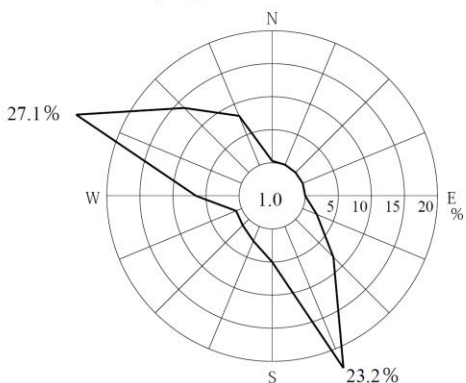


欠測率：6.8%

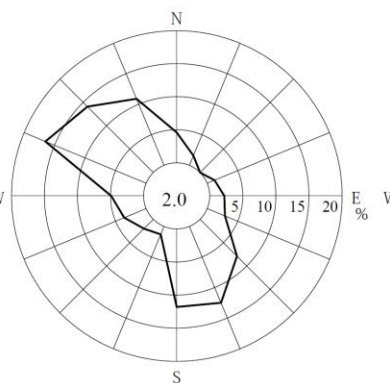


欠測率：6.8%

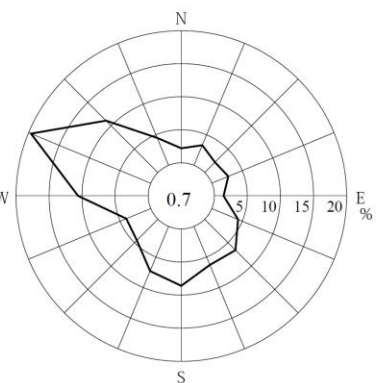
2009年12月



欠測率：6.6%
27.1%



欠測率：6.6%

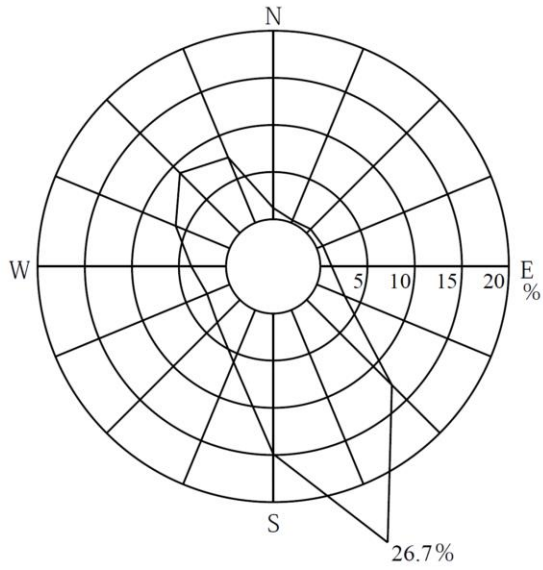


欠測率：6.6%

注) 小円内の数字は静穏の頻度 (%)

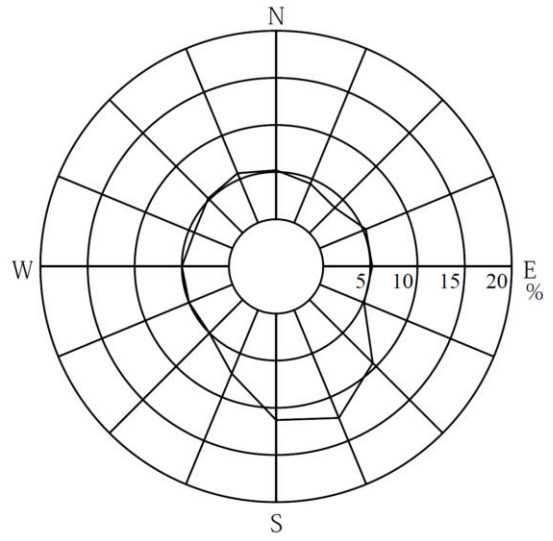
第2.4-5図 敷地の風配図 (その4) (2009年10月~12月)

標高 28.5 m
(地上高 20 m)



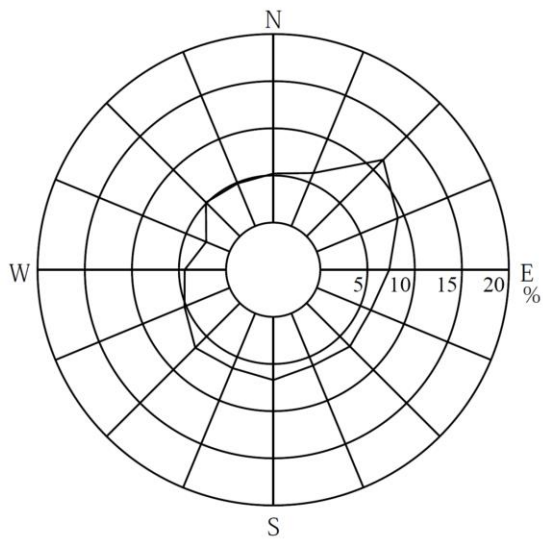
欠測率：1.1%

標高 65 m
(地上高 50 m)



欠測率：1.4%

標高 130 m
(地上高 115 m)

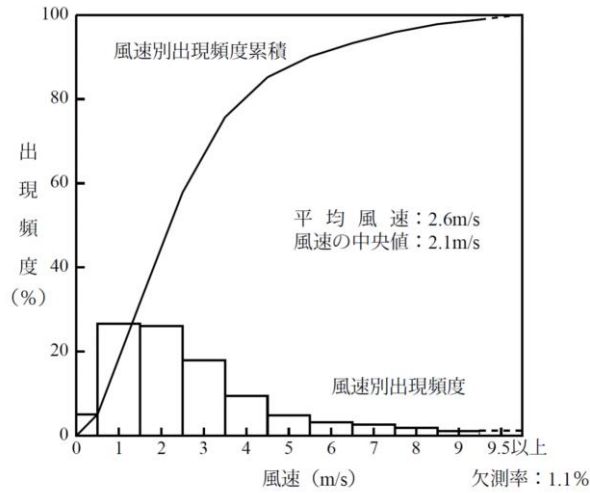


欠測率：1.5%

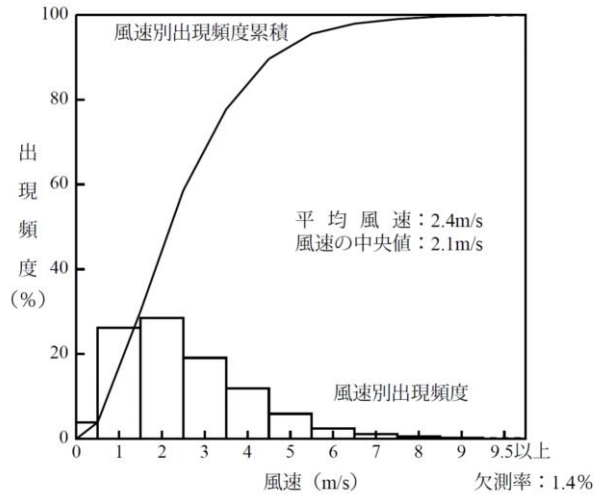
低風速 (0.5~2.0m/s) 時の出現頻度

観測点	出現頻度 (%)
標高 28.5m	43.0
標高 65m	44.3
標高 130m	19.9

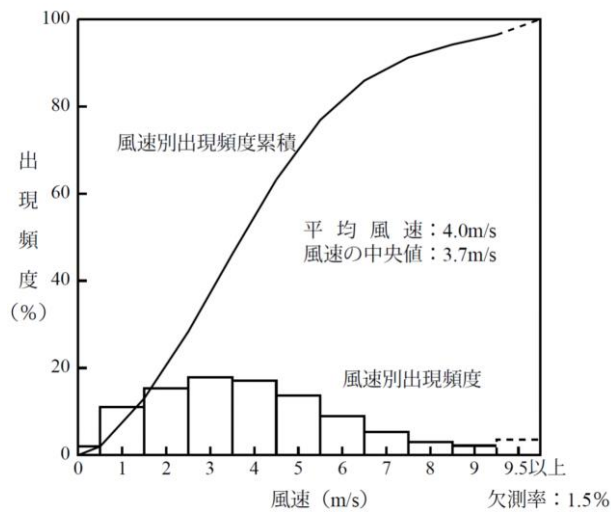
第2.4-6図 低風速 (0.5~2.0m/s) 時の風配図



第2.4-7図 年間風速別出現頻度及び風速別出現頻度累積
(標高28.5m, 地上高20m)



第2.4-8図 年間風速別出現頻度及び風速別出現頻度累積
(標高65m, 地上高50m)



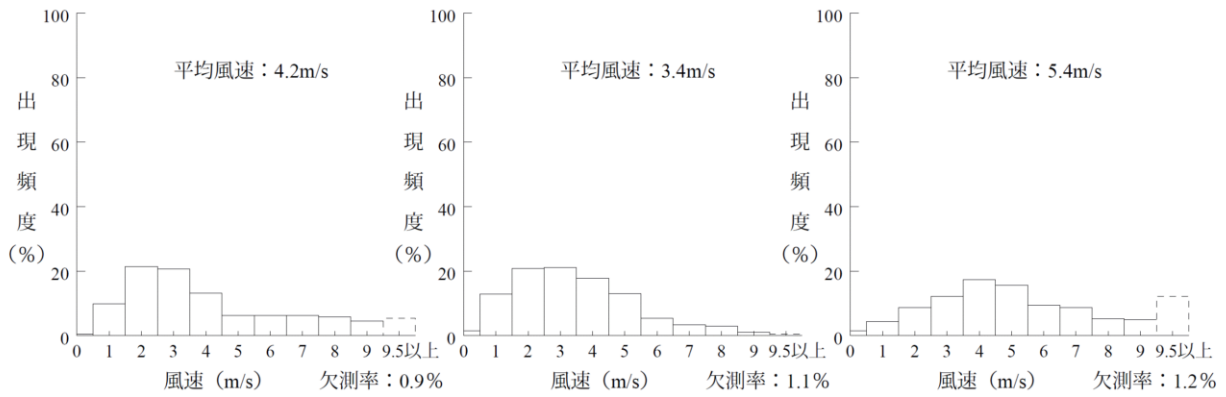
第2.4-9図 年間風速別出現頻度及び風速別出現頻度累積
(標高130m, 地上高115m)

標高 28.5 m
(地上高 20 m)

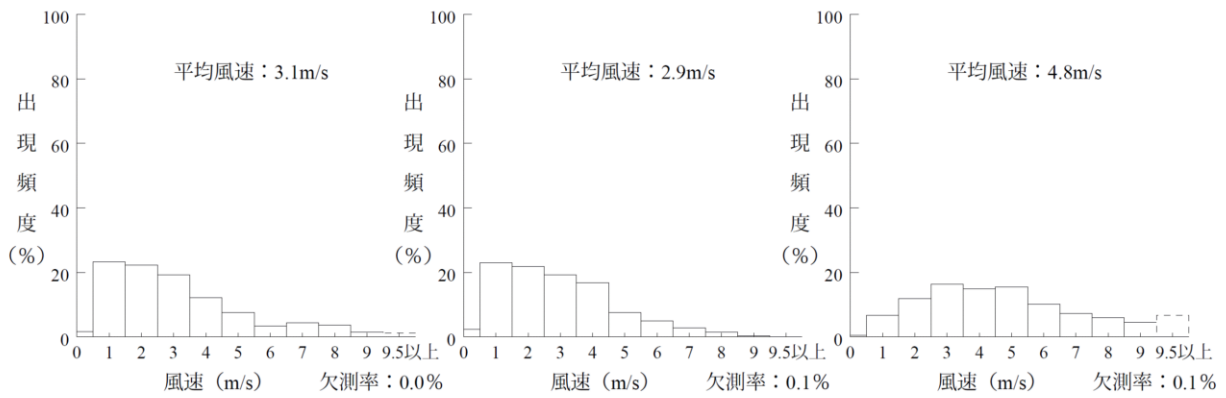
標高 65 m
(地上高 50 m)

標高 130 m
(地上高 115 m)

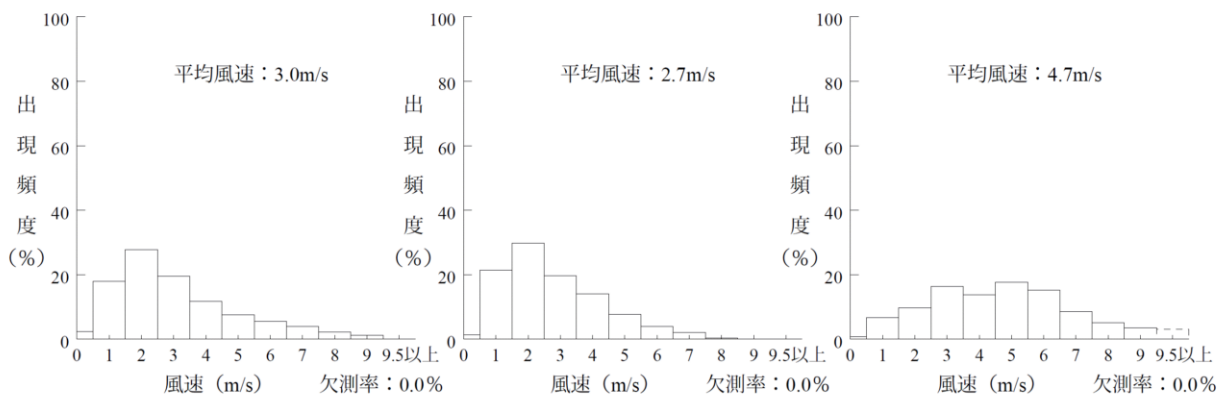
2009年1月



2009年2月



2009年3月



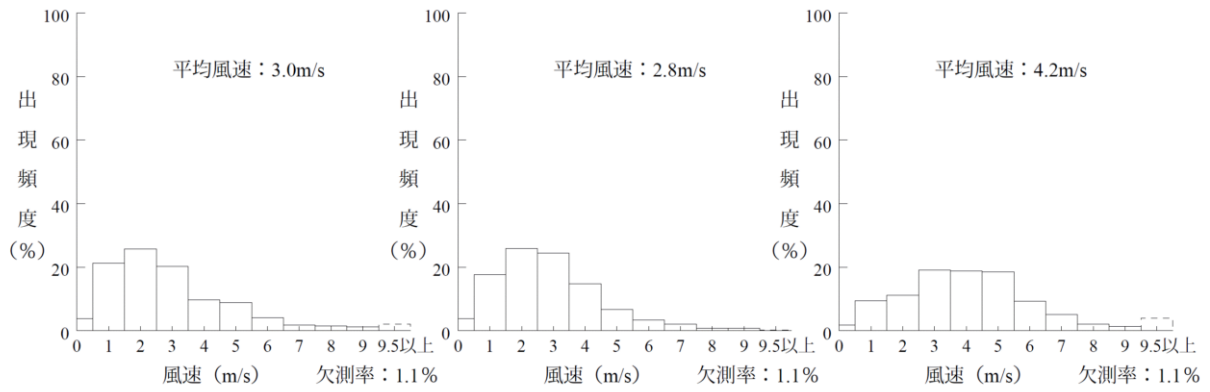
第2.4-10図 月別風速別出現頻度 (その1) (2009年1月~3月)

標高 28.5 m
(地上高 20 m)

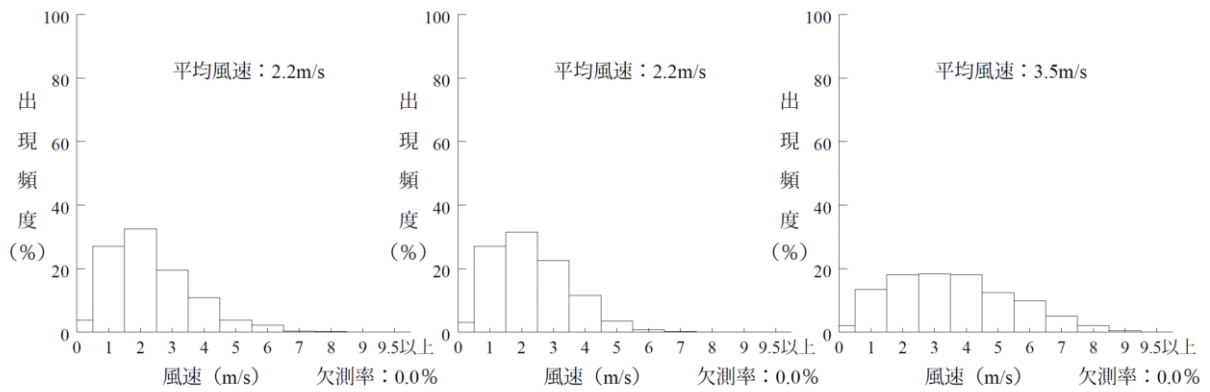
標高 65 m
(地上高 50 m)

標高 130 m
(地上高 115 m)

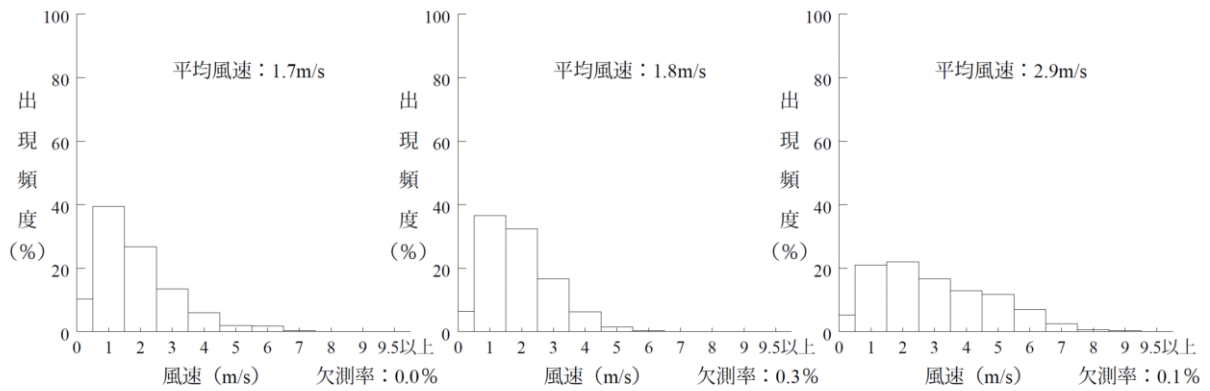
2009年4月



2009年5月



2009年6月



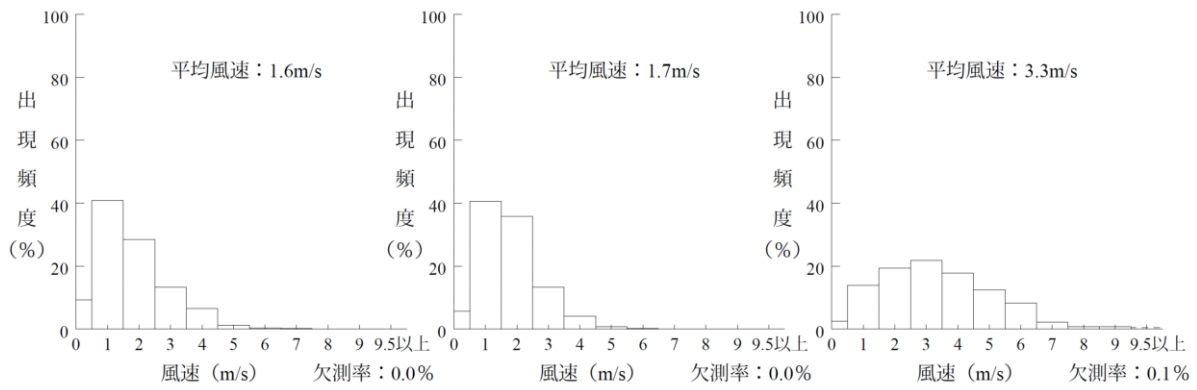
第2.4-11図 月別風速別出現頻度 (その2) (2009年4月~6月)

標高 28.5 m
(地上高 20 m)

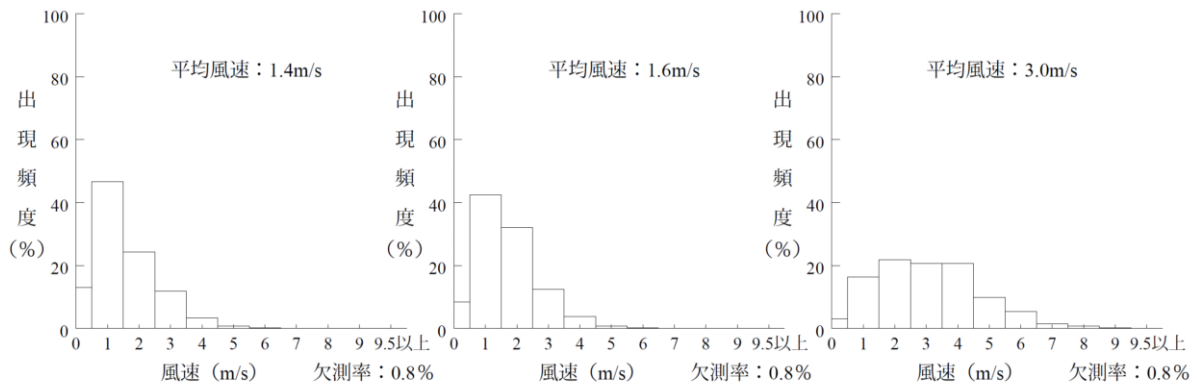
標高 65 m
(地上高 50 m)

標高 130 m
(地上高 115 m)

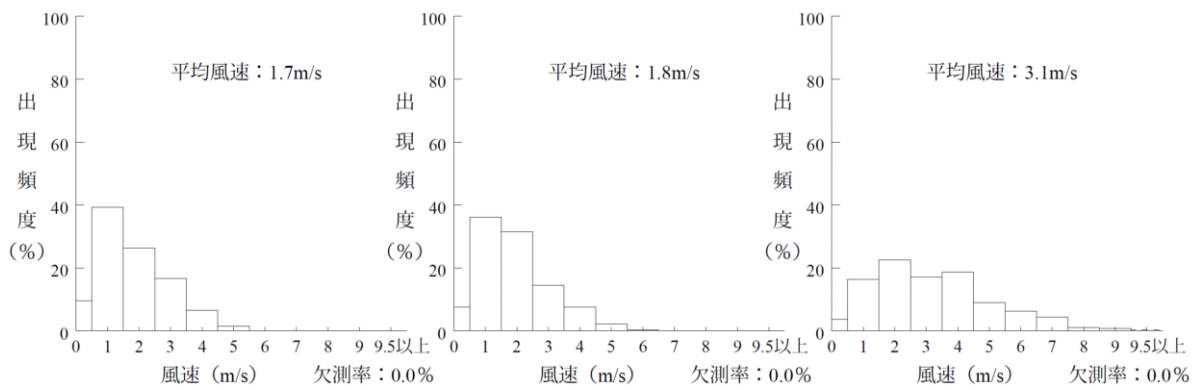
2009年7月



2009年8月



2009年9月



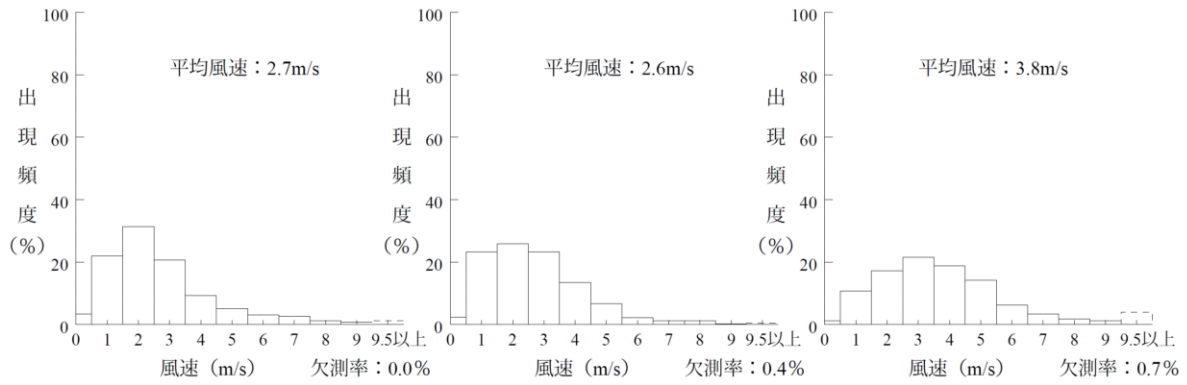
第2.4-12図 月別風速別出現頻度 (その3) (2009年7月~9月)

標高 28.5 m
(地上高 20 m)

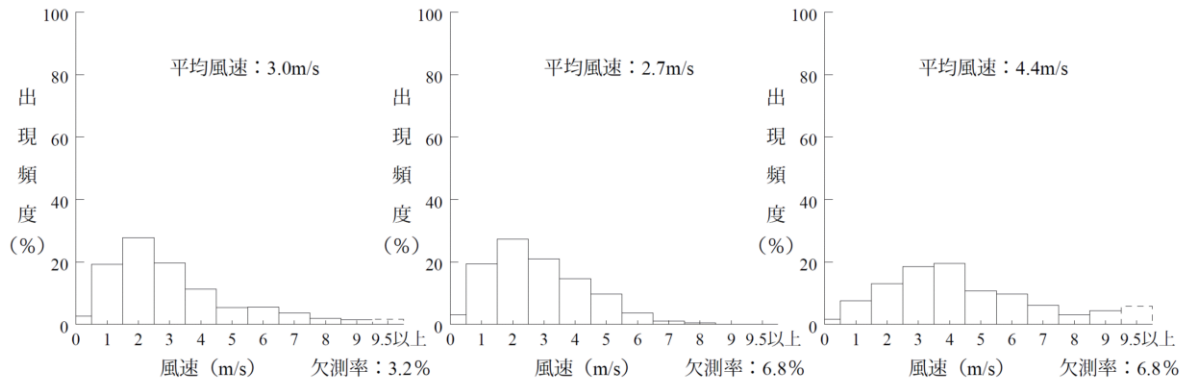
標高 65 m
(地上高 50 m)

標高 130 m
(地上高 115 m)

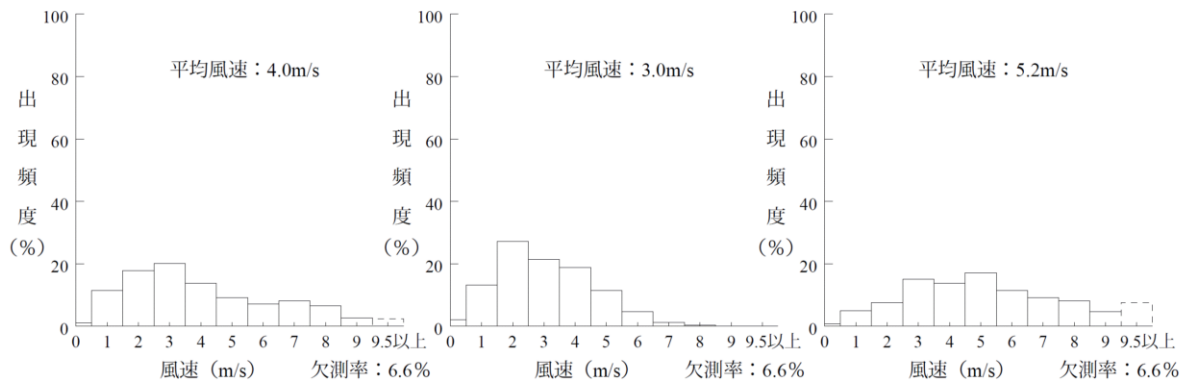
2009年10月



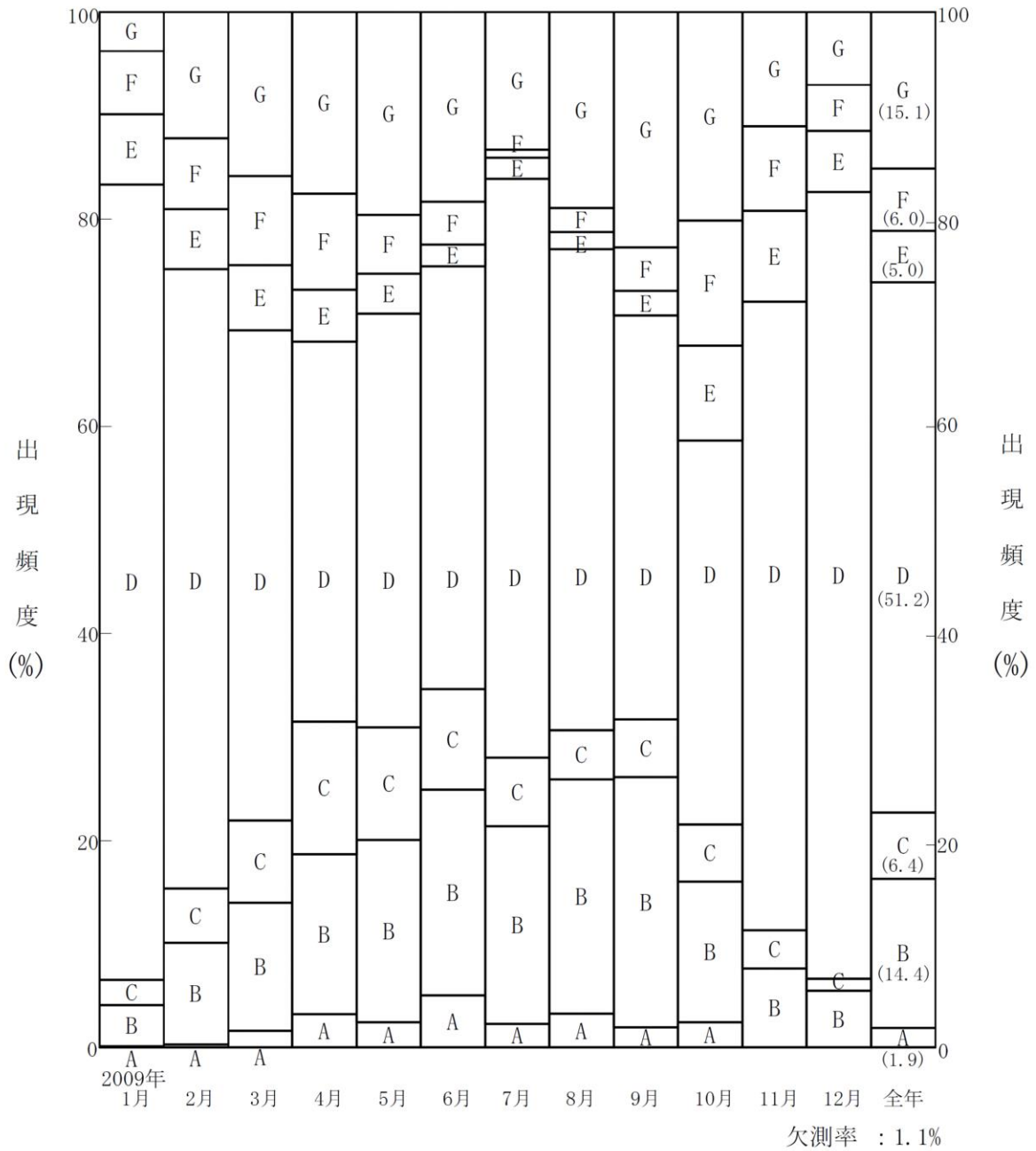
2009年11月



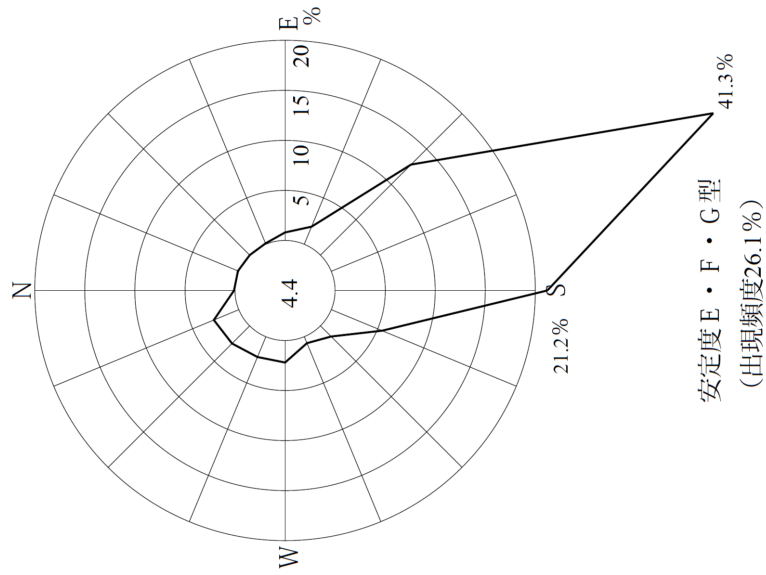
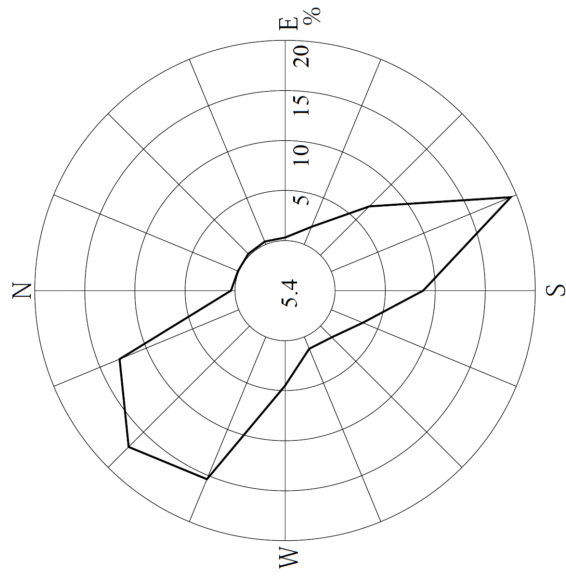
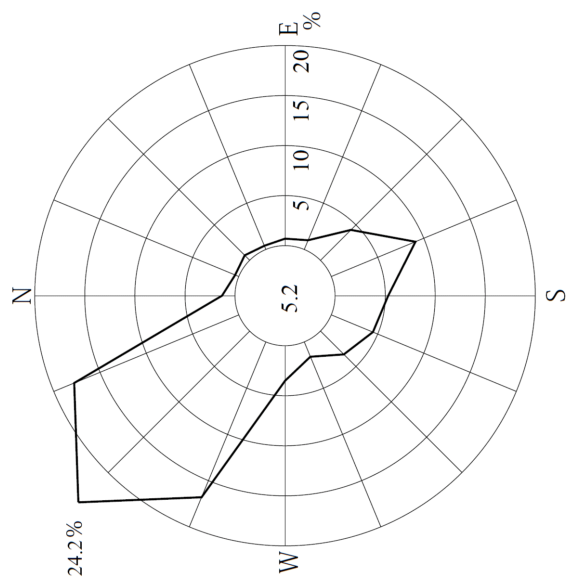
2009年12月



第2.4-13図 月別風速別出現頻度 (その4) (2009年10月~12月)



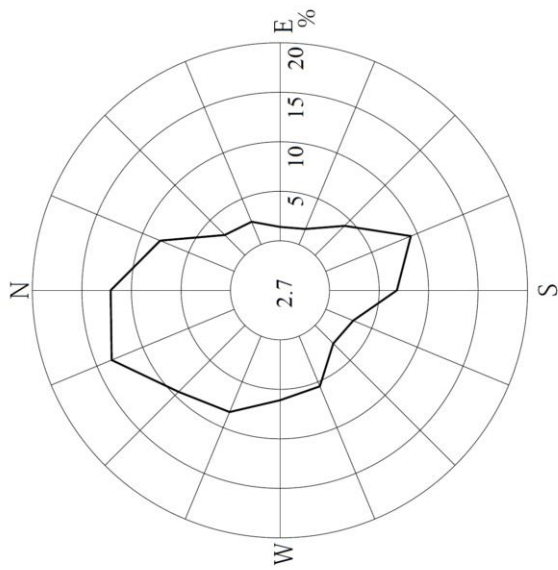
第2.4-14図 年間及び月別大気安定度出現頻度



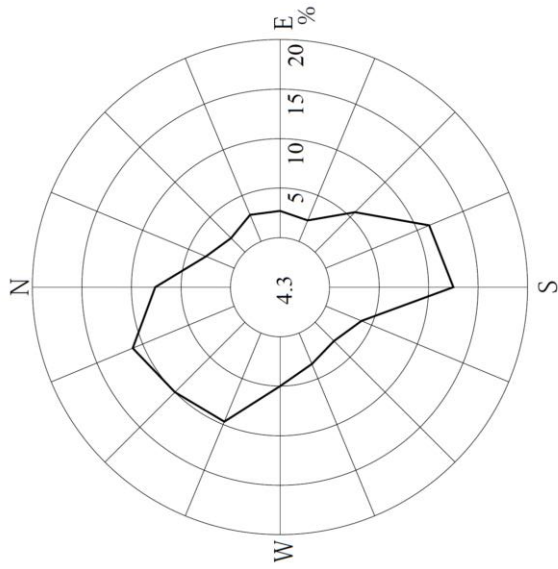
注) 1. 欠測率：1.1%

2. 小円内の数字は静穏の頻度 (%)

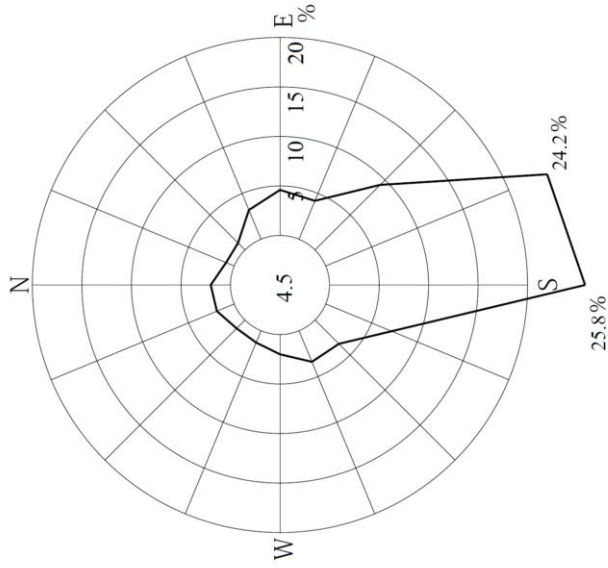
第2.4-15図 年間大気安定度別風配図 (標高28.5m, 地上高20m)



安定度 A・B・C 型
(出現頻度22.7%)



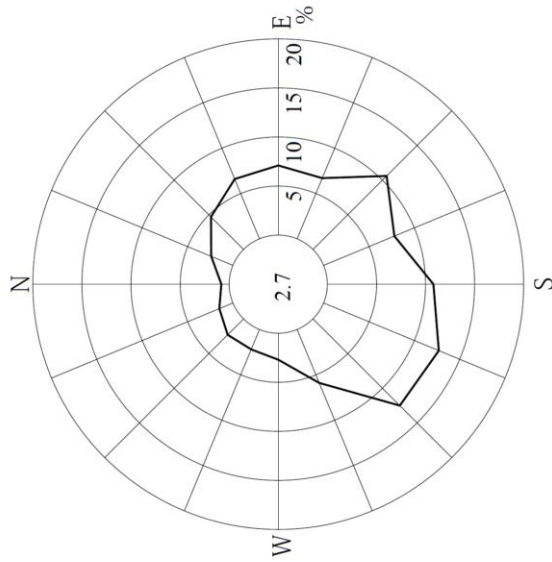
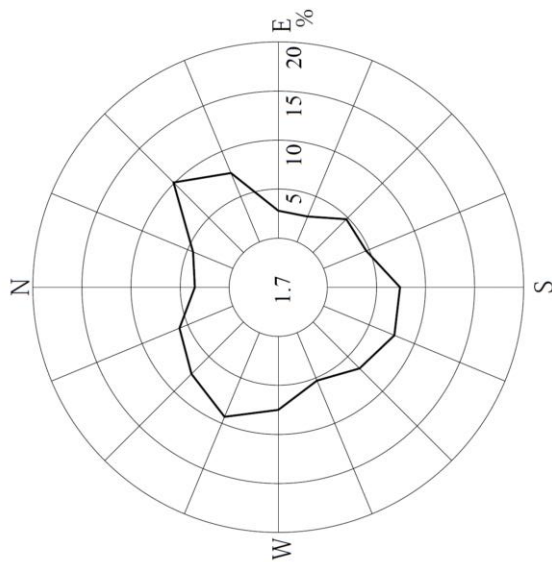
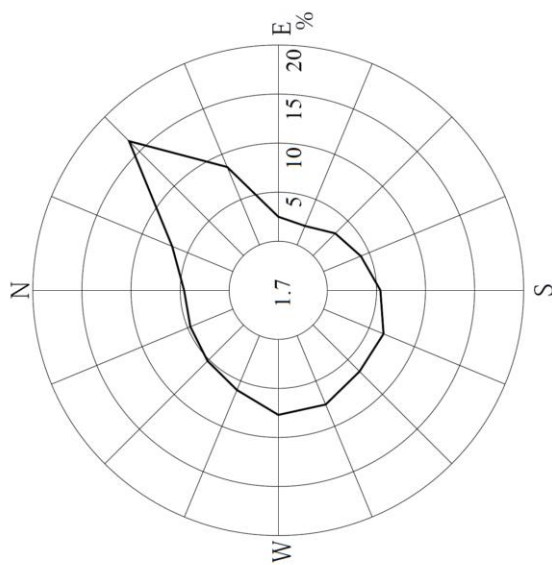
安定度 D 型
(出現頻度51.1%)



安定度 E・F・G 型
(出現頻度26.2%)

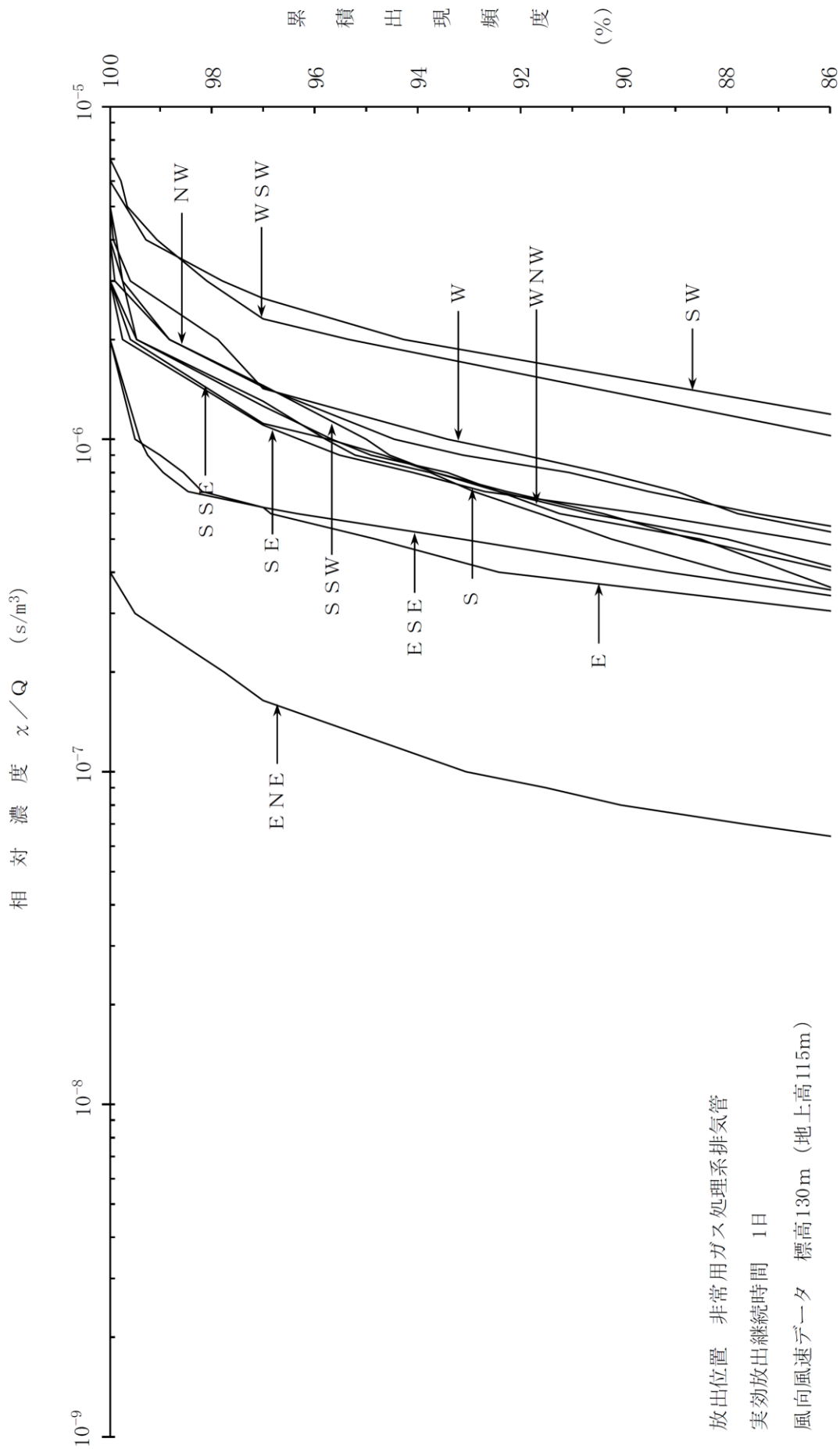
注) 1. 欠測率：1.4%
2. 小円内の数字は静穏の頻度 (%)

第2.4-16図 年間大気安定度別風配図 (標高65m, 地上高50m)

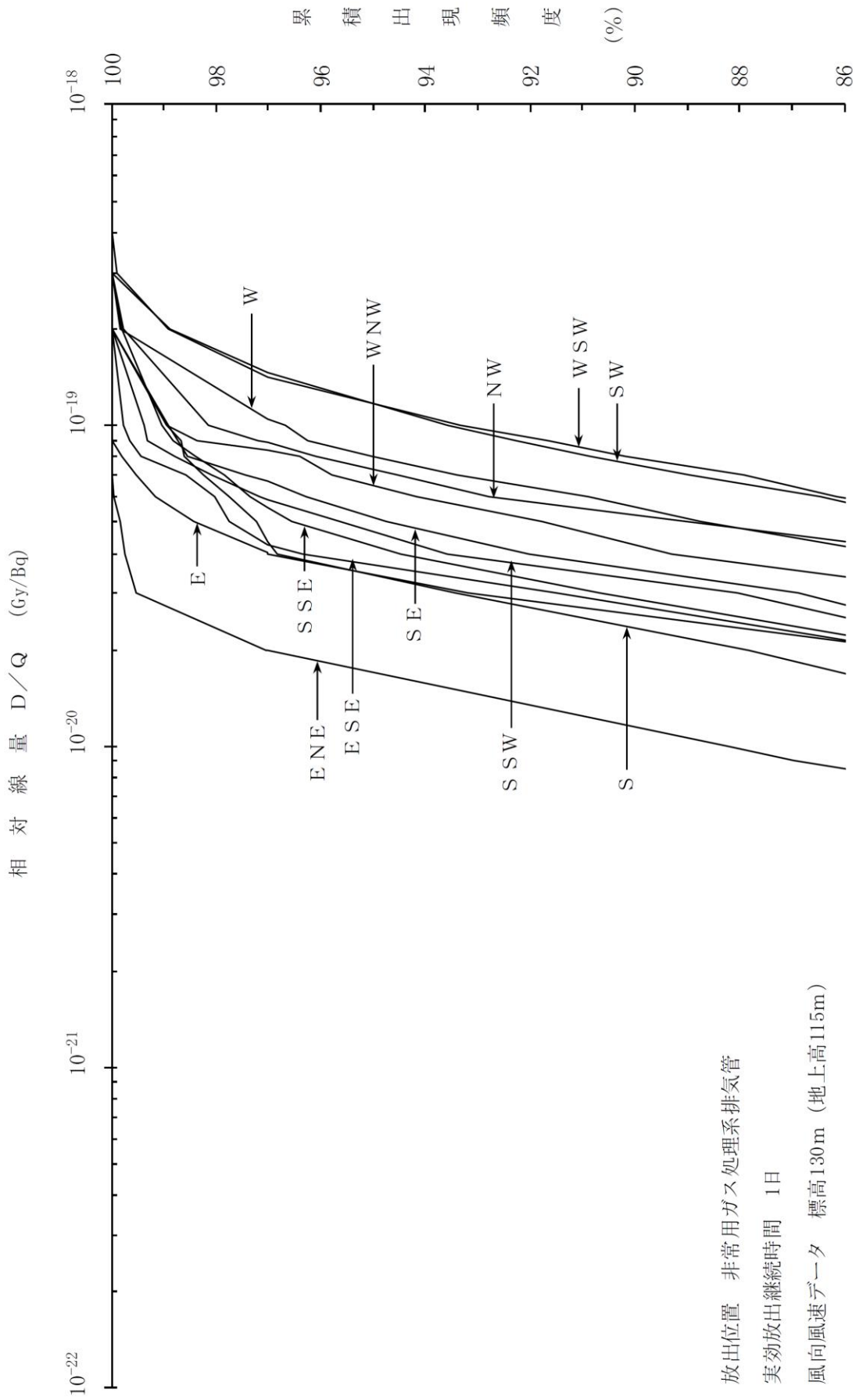


注) 1. 欠測率：1.5%
2. 小円内の数字は静穏の頻度 (%)

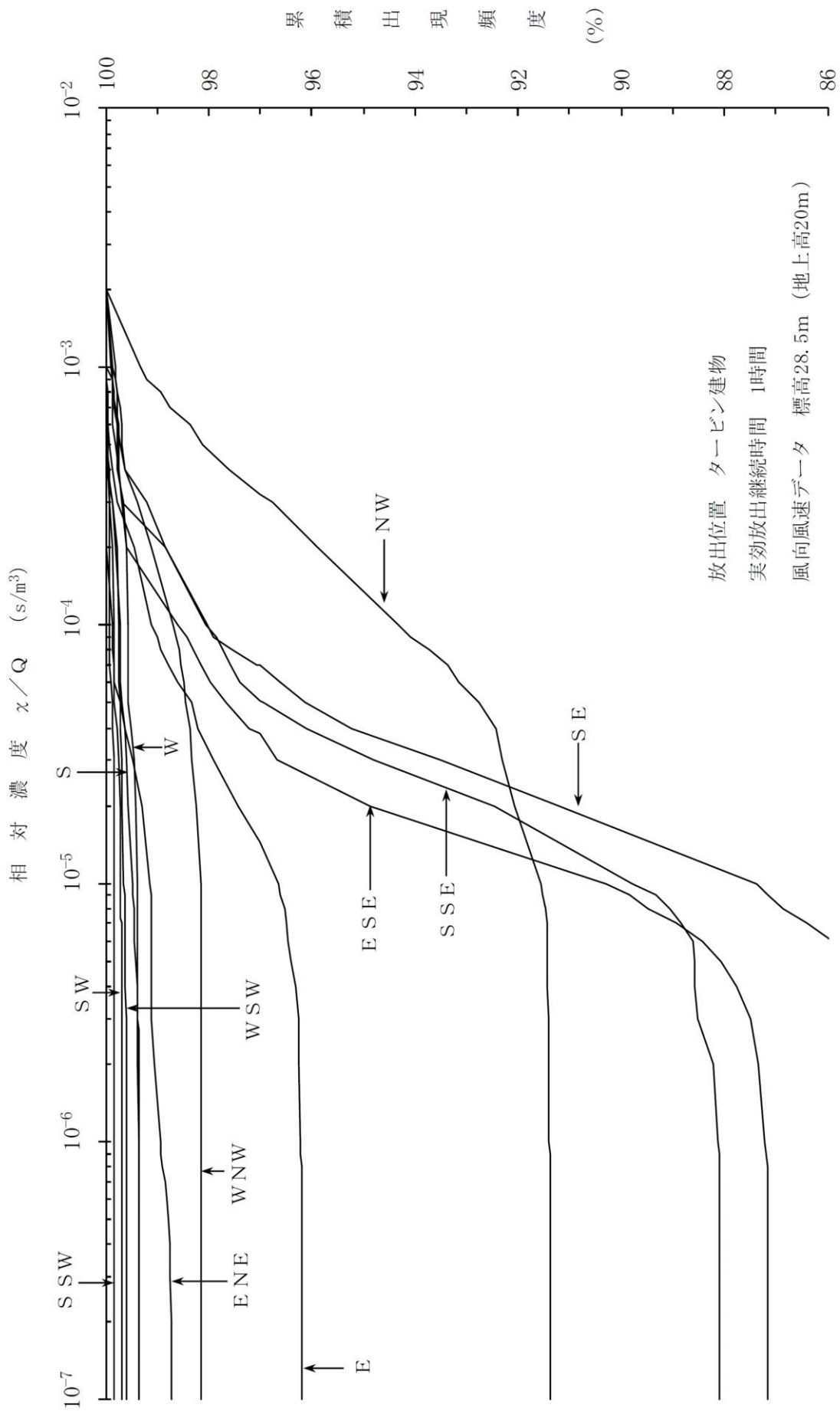
第2.4-17図 年間大気安定度別風配図 (標高130m, 地上高115m)



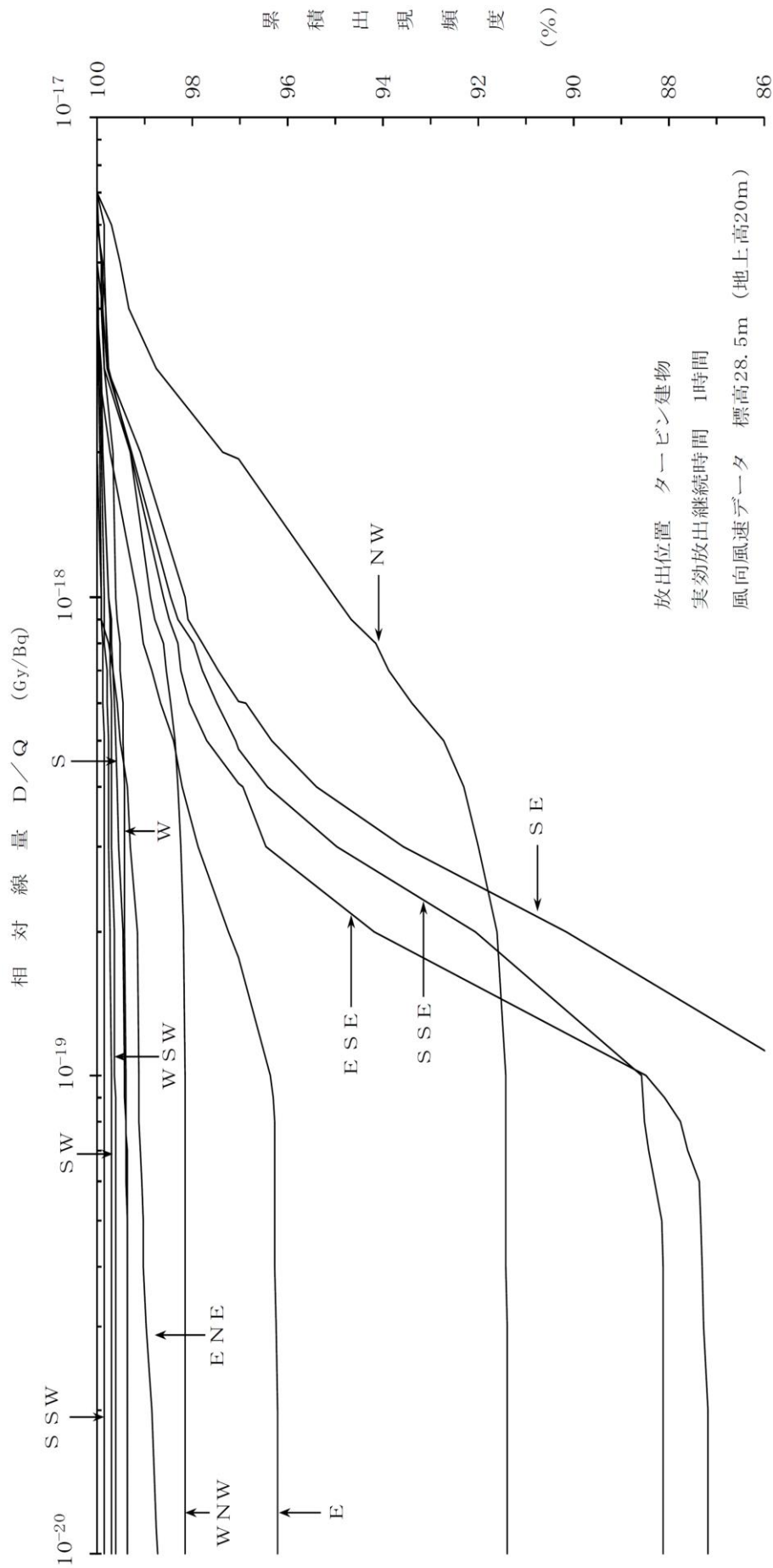
第2.5-1図 方位別相対濃度 (x/Q) の累積出現頻度 (原子炉冷却材喪失)



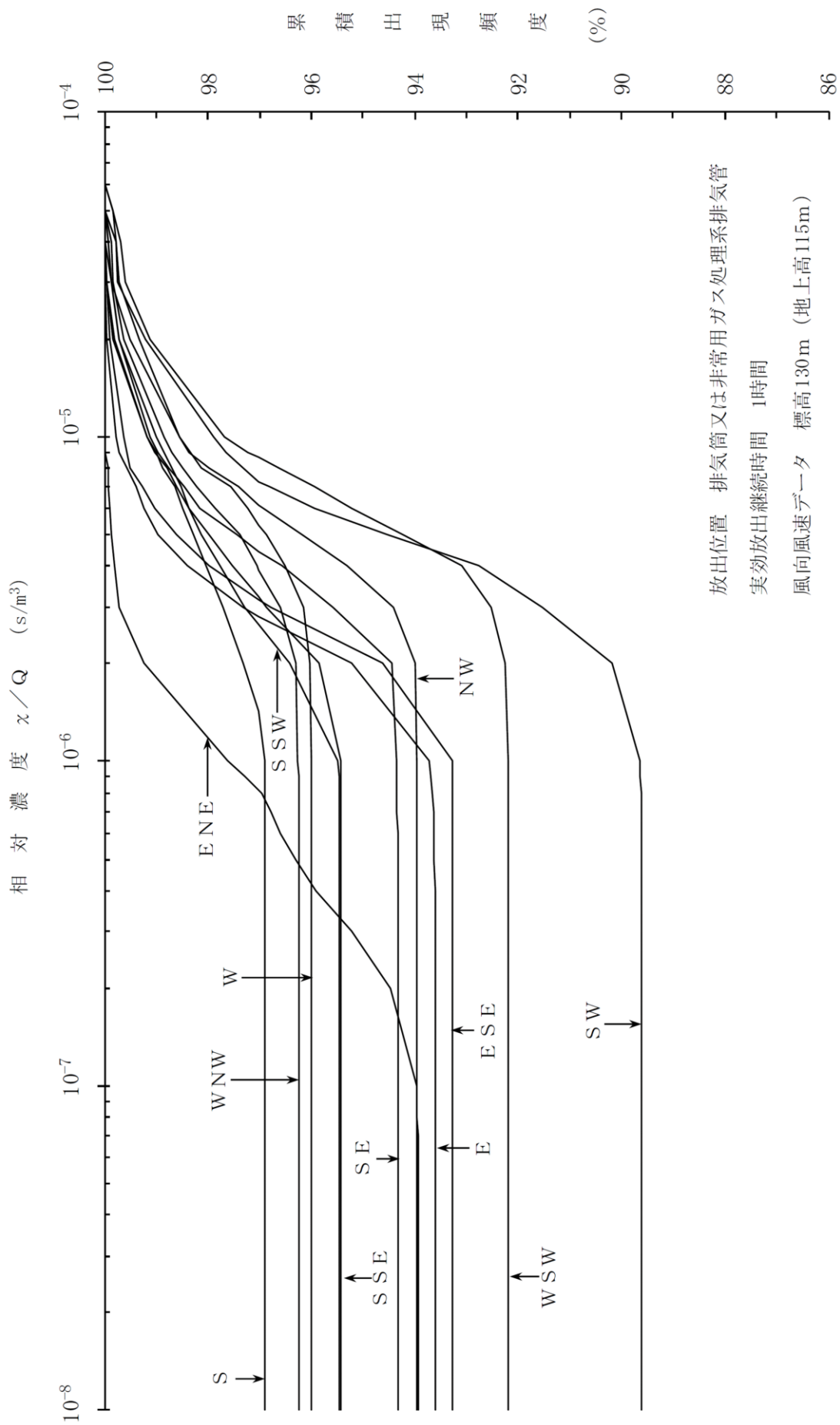
第2.5-2図 方位別相対線量 (D/Q) の累積出現頻度 (原子炉冷却材喪失)



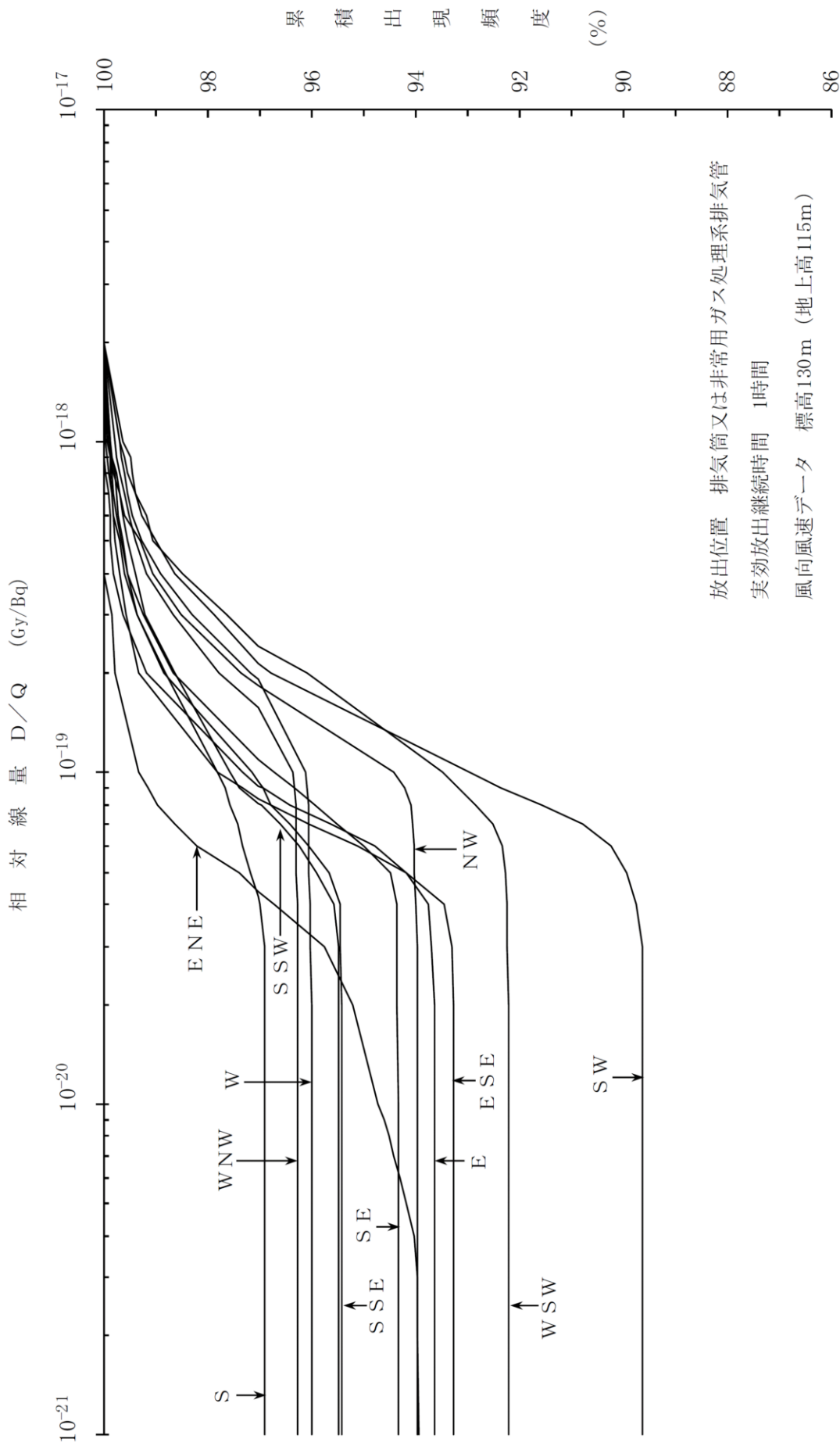
第2.5-3図 方位別相対濃度 (α/Q) の累積出現頻度 (主蒸気管破断)



第2.5-4図 方位別相対線量 (D/Q) の累積出現頻度 (主蒸気管破断)



第2.5-5図 方位別相対濃度 (x/Q) の累積出現頻度 (燃料集合体の落下及び制御棒落下)



第2.5-6図 方位別相対線量 (D/Q) の累積出現頻度
 (燃料集合体の落下, 放射性気体廃棄物処理施設の破損及び制御棒落下)